

# **Modeling subsidence hazard: puzzle, conceptual model and mechanism**

**地層下陷災害模擬：  
困惑、概念模式與機制**

Kuo-Chin Hsu  
Department of Resources Engineering  
National Cheng Kung University  
國立成功大學資源工程學研究所

[kchsu@mail.ncku.edu.tw](mailto:kchsu@mail.ncku.edu.tw)

# Acknowledgements



- 林伯龍（成大資源工程學研究所）  
蔡明修（成大資源工程學研究所）  
張志瑋（成大資源工程學研究所）  
蔡文瀚（成大資源工程學研究所）  
蔡東霖（嘉義大學土木與水資源工程學系）  
王士榮（財團法人中興工程顧問社）  
丁崇峰（成大水工試驗所）  
林政偉（成大水工試驗所）  
洪偉嘉（綠環境科技有限公司）

# Georesources: solid, fluid and energy



[www.lihpao.com](http://www.lihpao.com)



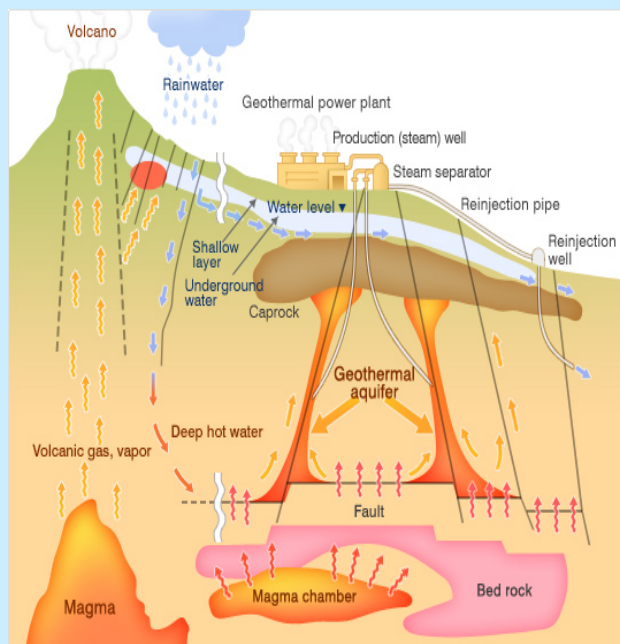
[www.taopic.com](http://www.taopic.com)



[shiyou.baike.com](http://shiyou.baike.com)



[www.steamboattoday.com](http://www.steamboattoday.com)



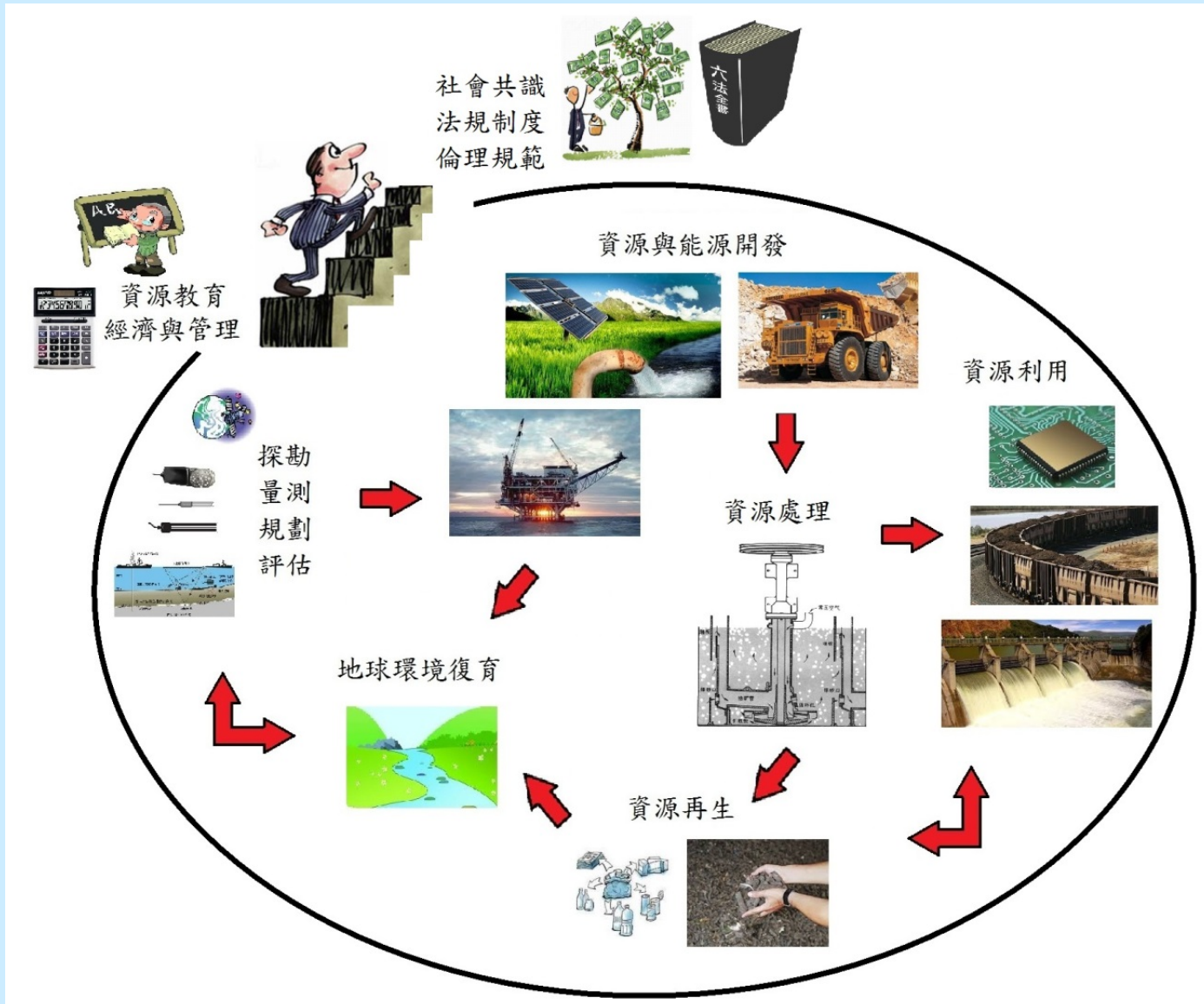
[www.mhi-global.com](http://www.mhi-global.com)



[www.1688.com.au](http://www.1688.com.au)



# 資源工程學研究所 (人、環境、資源與文明)



# Why do we need geological resources?



[KeywordSuggest.org](http://KeywordSuggest.org)



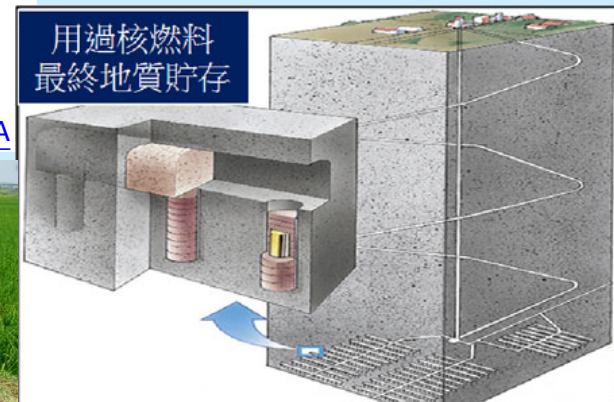
[icebunny3849.pixnet.net](http://icebunny3849.pixnet.net)



[www.pep.com.cn](http://www.pep.com.cn)

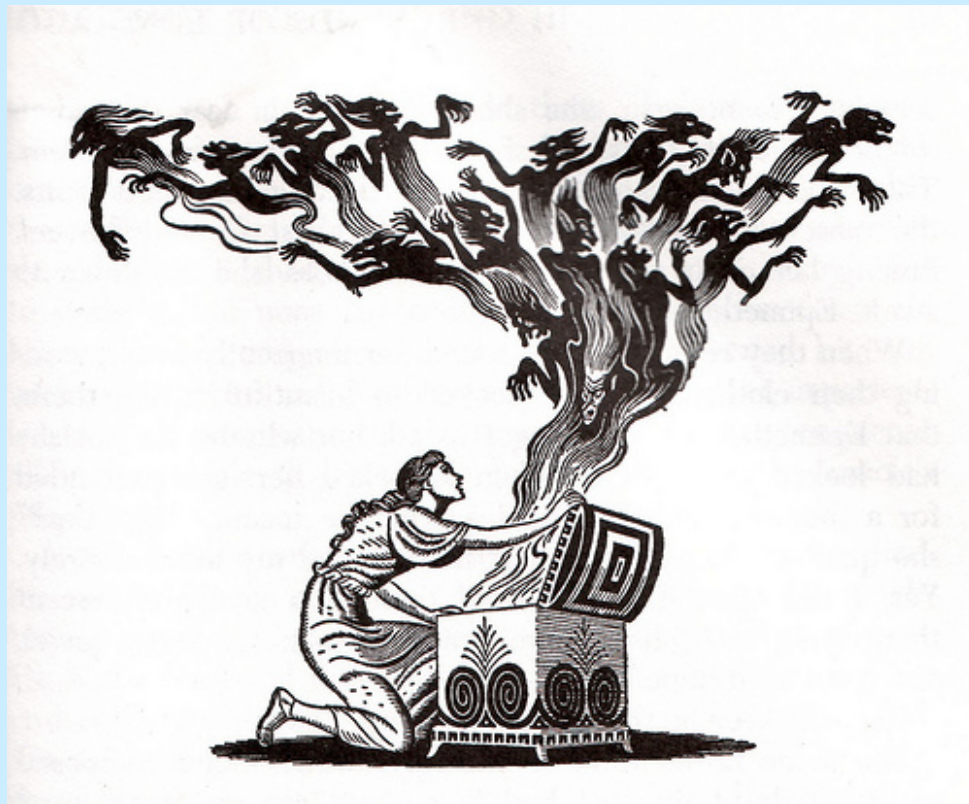


[www.livemint.com](http://www.livemint.com)



[anuclear-safety.twenergy.org.tw](http://anuclear-safety.twenergy.org.tw)

# Pandora's box or Aladdin's lamp?

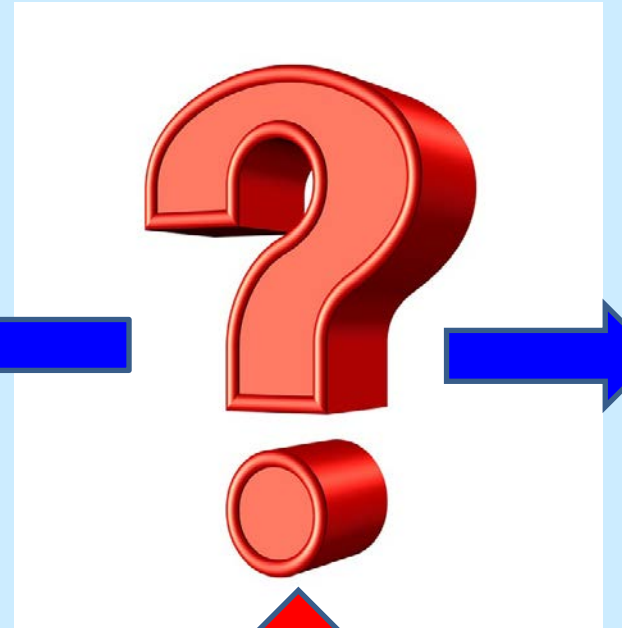


[www.insanelymac.com](http://www.insanelymac.com)



[blog.people.com.cn](http://blog.people.com.cn)

www.dreamstime.com-



www.123rf.com-



LHS 1140b 星球，年齡至少50億年，  
距離太陽39光年，地球的7倍，  
星球內部可能是由鐵所組成，  
地表可能有液態水。(2017-4-20)

TruerVine



[www.tudou.com](http://www.tudou.com)



[komicolle.org](http://komicolle.org)



Geology IN



[www.culture.ntpc.gov.tw-](http://www.culture.ntpc.gov.tw-)

# What is subsidence?

- Land subsidence is the motion of Earth's surface as it shifts downward relative to a datum.



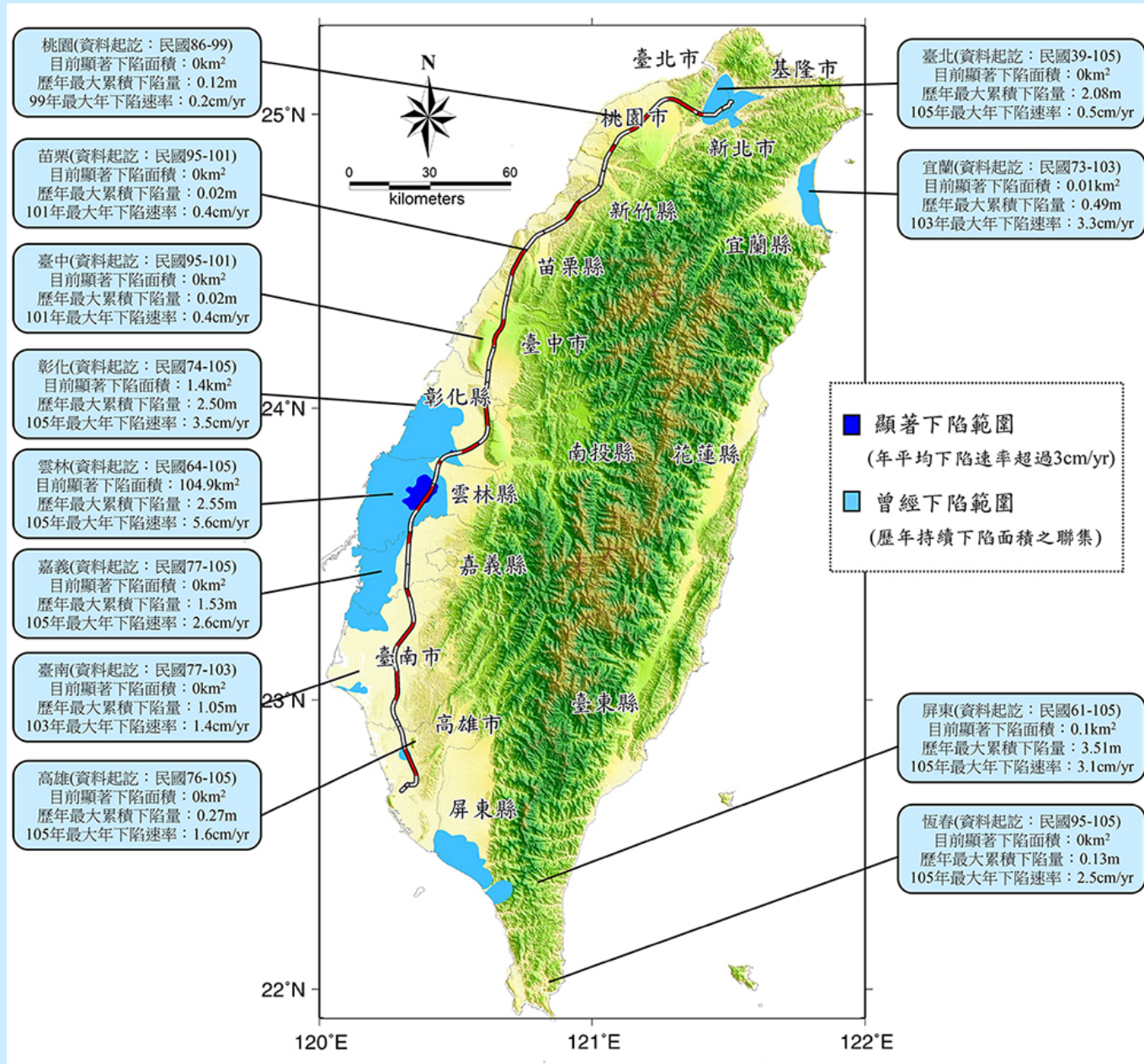


# What causes subsidence?

- Subsidence is caused naturally
  - dissolution of limestone in karst terrains
  - change of geological structure caused by volcano eruption
  - earthquake
  - faulting activity
- Subsidence is caused anthropogenically.
  - collapse of abandoned mine
  - deformation of soil structure caused by surface or underground construction
  - extraction of the subsurface fluid such as water, gas and oil

# Subsidence in Taiwan

(水利署網站, 2016)



# Subsidence is worldwide

世界上嚴重地層下陷地區名稱	累積最大下陷量(公尺)	下陷面積(平方公里)	發生時間	臺灣各地層下陷地區名稱	累積最大下陷量(公尺)	下陷面積(平方公里)	資料期距
日本東京	4	190	1920~1970+	臺北	2.24	252	1955~1999
日本大阪	3	190	1928~1968	宜蘭	0.28	170	1984~1999
墨西哥 墨西哥市	9	130	1938~1970+	彰化	1.85	610	1975~1999
美西 亞歷桑那中部	2.3	130	1961~1969+	雲林	2.02	880	1975~1999
美國加州 Santa Clara 谷	4	650	1920~1970	嘉義	1.16	250	1987~1998
美國 San Joaquin 谷	2.9~9	11,000	1935~1970+	臺南	0.63	30	1988~1999
美國 拉斯維加斯	1	500	1935~1963	高雄	0.38	10	1992~1998
				屏東	3.09	201	1972~1998

# Subsidence associated with climate change

- More than 1 out of every 100 people on the planet live less than 1 meter above sea level.





# The land subsidence has accompanied ...

- seawater encroachment,
- inundation,
- soil salinity,
- damage of infrastructure,
- reduction of fresh water supply,
- serious property damage and economic loss

# The subsidence rate

(Water Resources Agency, 2016)

表 4.3-4 彰化地區民國 81 年至 105 年下陷面積分析表

觀測期距	81.10 ~ 82.8	82.8 ~ 84.8	84.8 ~ 86.8	86.8 ~ 87.8	87.8 ~ 89.6	89.0 ~ 90.8	90.8 ~ 92.8	92.8 ~ 93.8	93.8 ~ 94.5	94.5 ~ 95.10	95.10 ~ 96.7	96.7 ~ 97.6	97.6 ~ 98.7	98.7 ~ 99.6	99.6 ~ 100.5	100.6 ~ 101.6	101.6 ~ 102.6	102.6 ~ 103.6	103.6 ~ 104.6	104.6 ~ 105.6
最大下陷速率 (公分/年)	17.1	21.7	23.6	19.3	16.4	17.6	10.4	14.2	11.0	8.9	8.4	6.4	5.7	6.4	5.3	6.4	3.8	3.4	4.1	3.5
最大下陷速率 發生地點	大城鄉	大城鄉	大城鄉	大城鄉	大城鄉	大城鄉	溪湖鎮	溪湖鎮	溪湖鎮	二林鎮	二林鎮	溪州鄉	溪州鄉	溪湖鎮	溪州鄉	溪州鄉	溪州鄉	溪州鄉	溪州鄉	
速率超過 2 公分/年之面積(平方公里)	-	-	-	-	-	-	-	-	-	-	-	-	-	-	-	-	90.2	177.2	12.4	
速率超過 3 公分/年之面積(平方公里)	59.9	195.9	257.6	392.0	321.6	408.0	357.3	368.1	263.4	278.3	225.6	213.7	78.1	138.9	51.4	80.0	2.1	1.5	25.8	1.4

表 4.3-12 雲林地區民國 81 年至 105 年下陷面積分析表

觀測期距	81.8 ~ 83.10	83.10 ~ 85.10	85.10 ~ 87.2	87.2 ~ 88.11	88.11 ~ 91.4	91.4 ~ 92.4	92.4 ~ 94.5	94.5 ~ 95.10	95.10 ~ 96.7	96.7 ~ 97.5	97.5 ~ 98.6	98.6 ~ 99.5	99.5 ~ 100.5	100.5 ~ 101.5	101.5 ~ 102.6	102.6 ~ 103.5	103.5 ~ 104.5	104.5 ~ 105.5
最大下陷速率 (公分/年)	16	8	8	7	9.5	12.2	11.6	10.1	8.2	7.1	7.4	6.4	6.8	6.5	4.5	6.1	7.1	5.6
最大下陷速率 發生地點	麥寮鄉	麥寮鄉	麥寮鄉	元長鄉	土庫鎮	褒忠鄉	元長鄉	元長鄉	虎尾鎮	元長鄉	虎尾鎮	土庫鎮	虎尾鎮	虎尾鎮	虎尾鎮	元長鄉	土庫鎮	土庫鎮
速率超過 2 公分/年之面積(平方公里)	-	-	-	-	-	-	-	-	-	-	-	-	-	-	-	451.1	815.1	240.1
速率超過 3 公分/年之面積(平方公里)	782.7	745.7	392.0	366.1	610.5	703.1	678.6	557.1	551.5	580.7	413.9	267.1	397.6	155.4	106.4	307.6	658.6	104.9

表 4.3-15 屏東地區民國 83 年至 105 年下陷面積分析表

觀測期距	83.04~ 84.04	84.04~ 86.04	86.04~ 87.03	87.03~ 90.05	90.03~ 93.04	93.05~ 95.12	95.12~ 98.02	98.02~ 99.08	99.08~ 100.08	100.08~ 101.08	101.08~ 102.08	102.08~ 103.08	103.08~ 104.08	104.08~ 105.08
最大下陷速率 (公分/年)	12.7	9.0	4.9	4.3	4.0	2.8	3.3	4.3	6.8	1.9	3.9	4.7	5.1	3.1
最大下陷速率 發生地點	枋寮鄉	枋寮鄉	南州鄉	林邊鄉	林邊鄉	佳冬鄉	恆春鎮	林邊鄉	佳冬鄉	林邊鄉	佳冬鄉	佳冬鄉	佳冬鄉	佳冬鄉
速率超過 2 公分/年之面積(平方公里)	-	-	-	-	-	-	-	-	-	-	-	51.2	99.7	48.0
速率超過(3公分/年)之面積(平方公里)	143.5	136.7	32.7	4.9	7.4	0.0	2.5	47.5	48.9	0.0	4.1	17.6	44.5	0.1

# Should we care for fresh water resources?



- 台灣累積地層下陷面積約佔台灣平原地區面積的二成  $2403\text{ Km}^2$

- 最大下陷量

屏東 3.51 m

雲林 2.55 m

彰化 2.50 m

新雨量分級 與 警戒事項 之關聯		
名稱	雨量	警戒事項
大雨	80mm/24h以上 或 40mm/h以上	山區：可能發生山洪暴發、落石、坍方。 平地：排水差或低漥地區易發生積淹水。 雨區：強陣風、雷擊。
豪雨	200mm/24h以上 或 100mm/3h以上	山區：山洪暴發、落石、坍方、土石流。 平地：易發生積淹水。 雨區：強陣風、雷擊、甚至冰雹。
大豪雨	350mm/24h以上	山區：山洪暴發、落石、坍方、土石流、崩塌。 平地：積淹水面積擴大，河川中下游防河水溢淹。 雨區：強陣風、雷擊、甚至冰雹。
超大豪雨	500mm/24h以上	山區：大規模山洪暴發、落石、坍方、土石流、崩塌。 平地：易有大範圍積淹水。 雨區：強陣風、雷擊、甚至冰雹。

※ 對未達特報之連續性降雨或未能事先掌握的突發性降雨，在研判有致災之虞時，中央氣象局將輔以天氣即時訊息方式發布。  
※ 因各地對雨量承受度不同，致災性也會不同，使用上應瞭解所在位置之環境特徵。

- 曾文水庫2017有效蓄水量  $0.46 \times 10^9\text{ m}^3$
- 平均下陷  $0.1\text{m}$  ( $100\text{mm}$ )= $0.52$ 座曾文水庫
- 平均下陷  $0.5\text{m}$  ( $500\text{mm}$ )= $2.6$ 座曾文水庫
- 平均下陷  $1\text{m}$  ( $1000\text{mm}$ )= $5.2$ 座曾文水庫

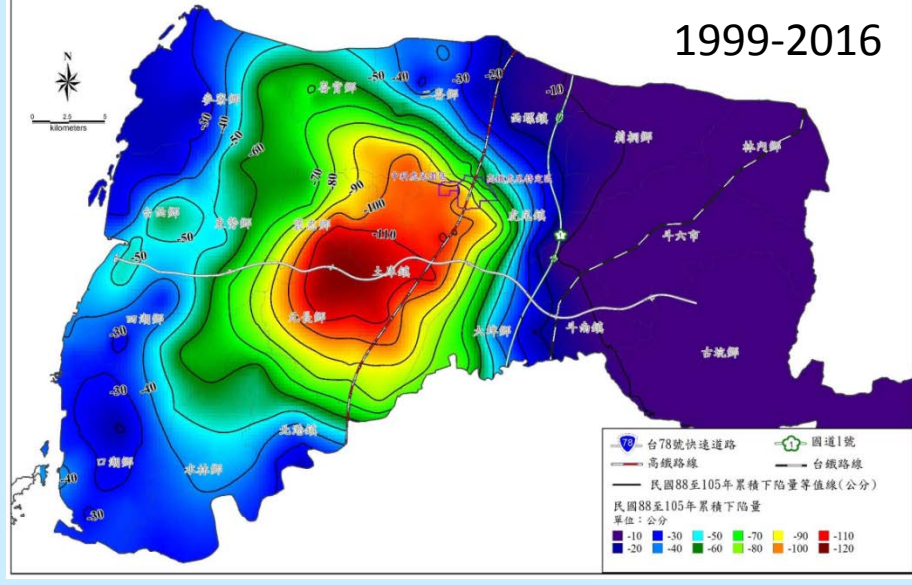
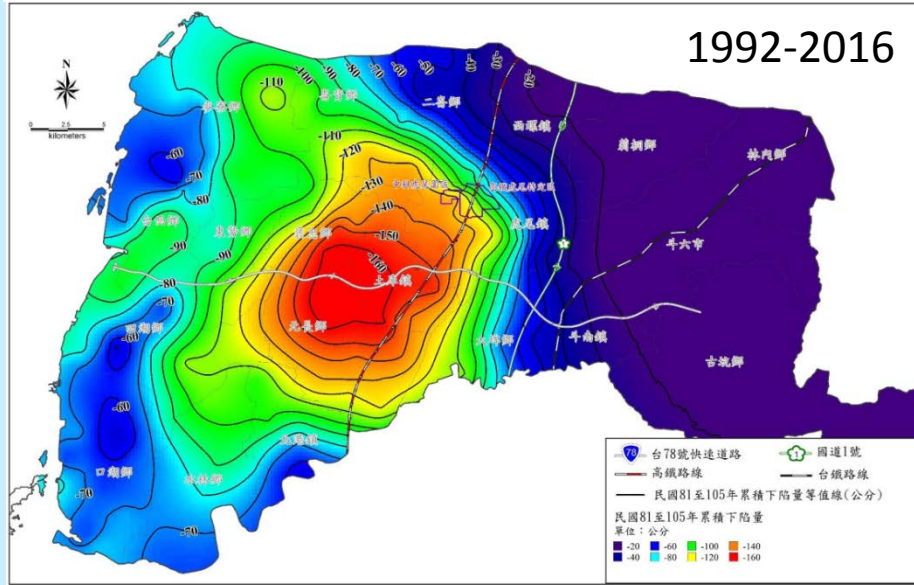
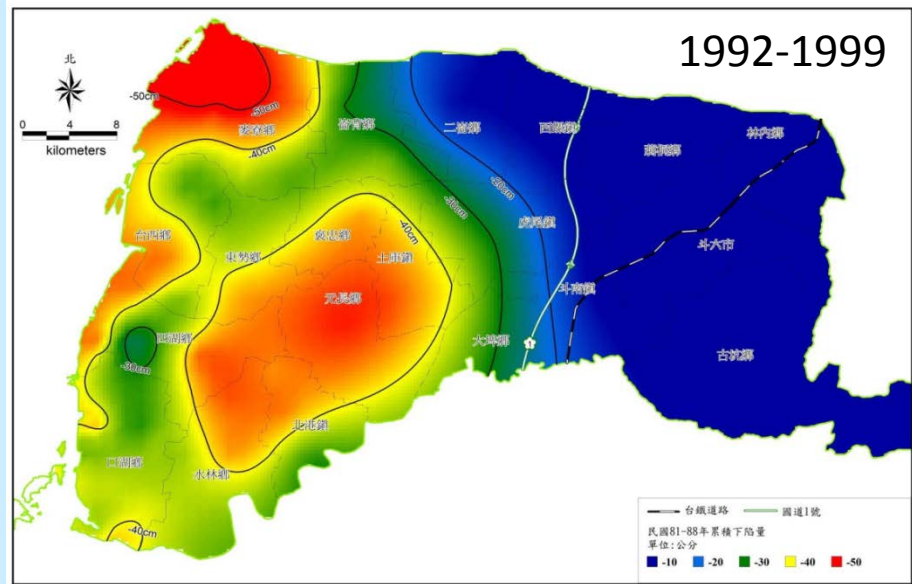
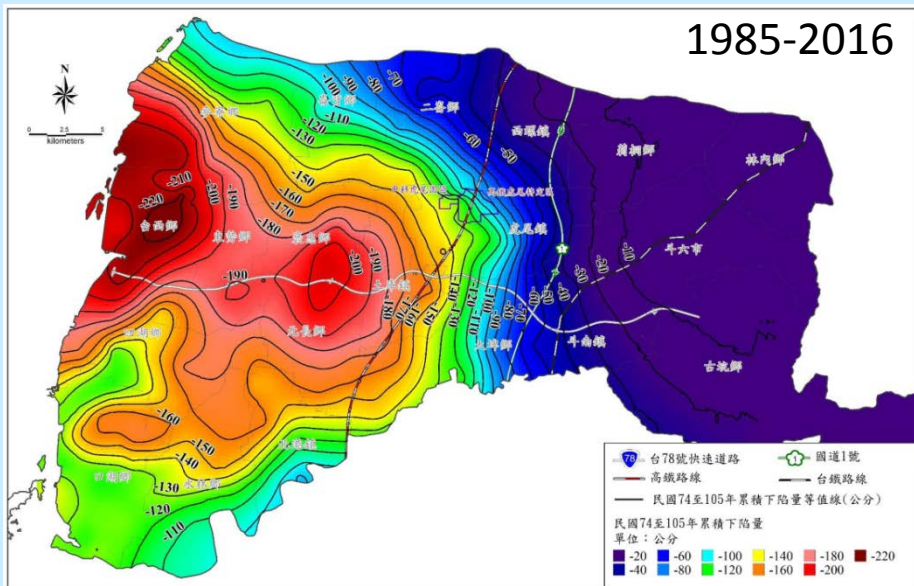
CWB web



# Should we care for food-water security?

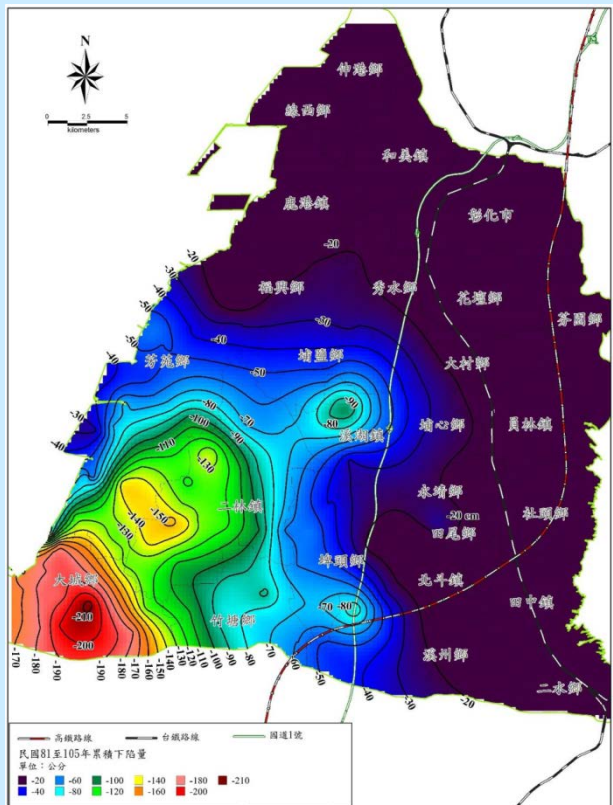
- 台灣耕地面積逐年減少，糧食自給率大約只有30%
- 台灣累積地層下陷的面積約佔台灣平原地區面積的二成，2403平方公里(約240000公頃)
- 聯合國資料一公頃土地種稻一年可以養活十九人(約20人)
- 一人一天食物150元，一年約7.3萬
- 一年地層下陷地區產值  $240000 * 20 * 7.3 = 3500$  億  
(比較1992年1670億元採購幻象戰機，2009考慮封存(自由時報2009/10/23))
- 十年產值3兆5千億 永續經營一百年35兆

# Subsidence in Yunlin

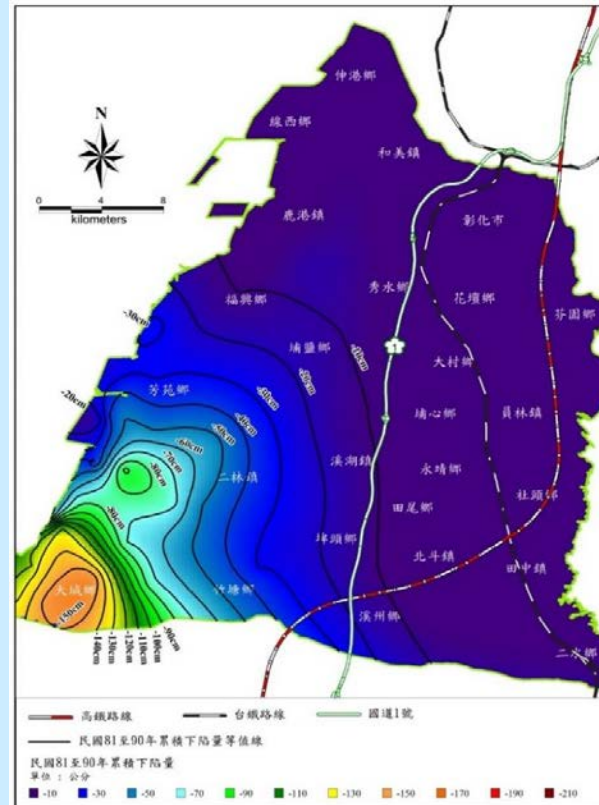


(Water Resources Agency, 2016)

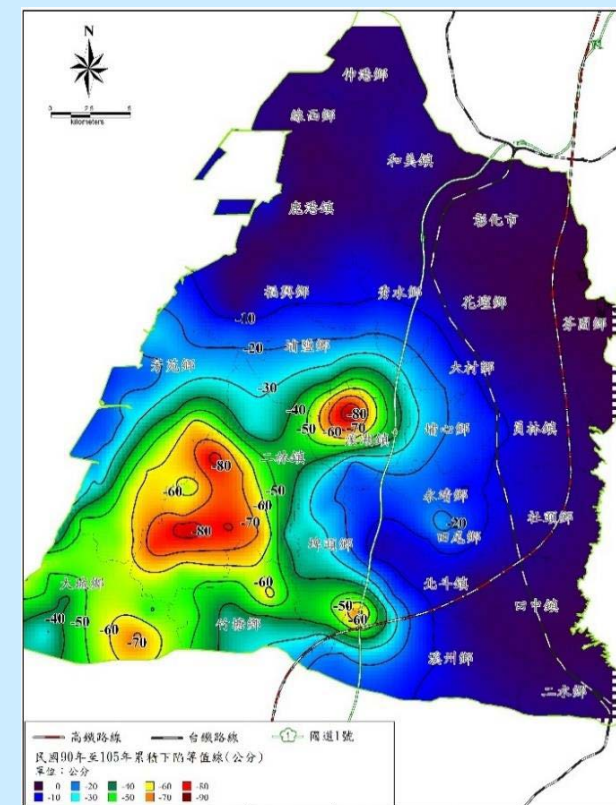
# Subsidence in Changhua



1992-2016

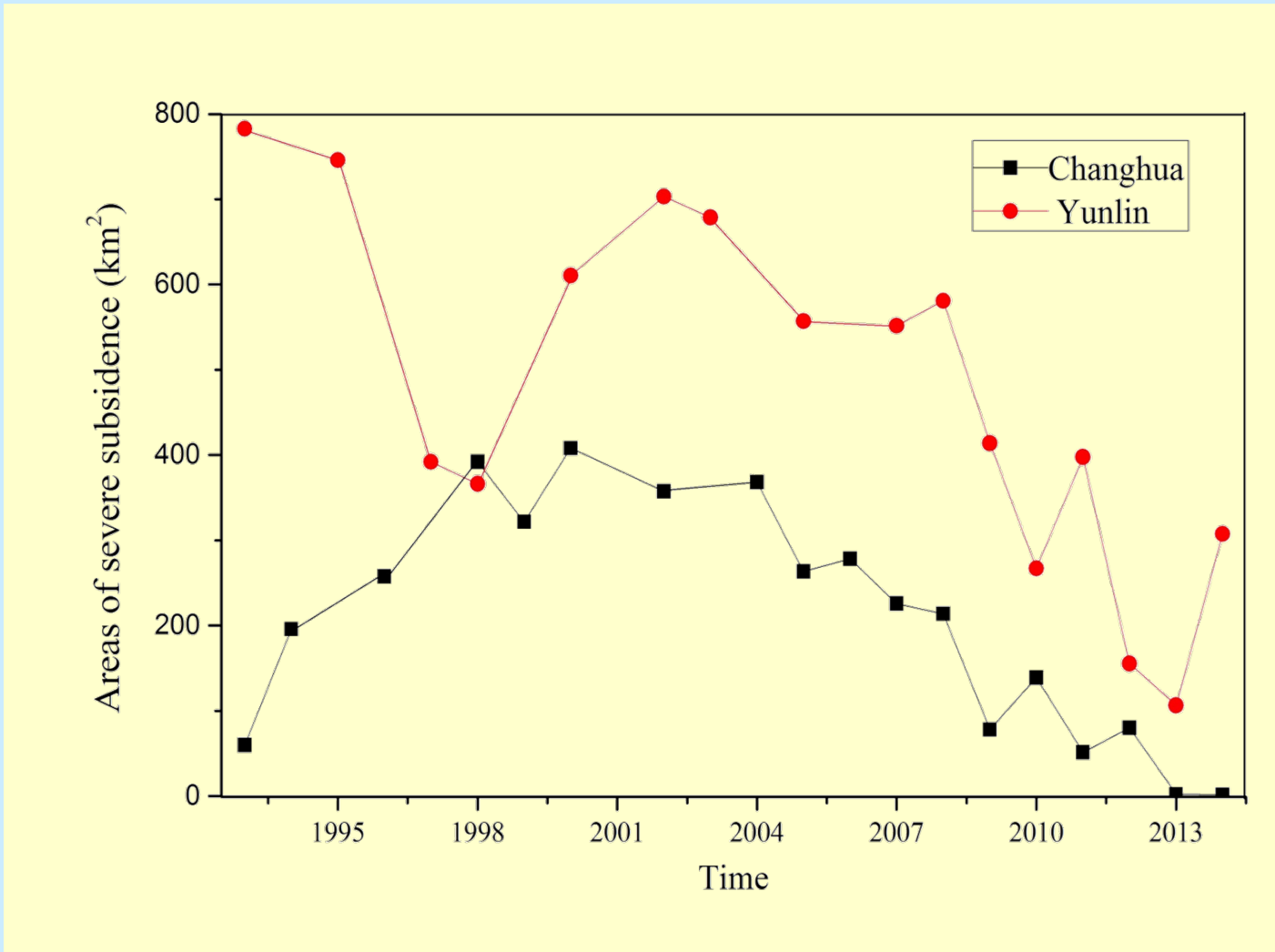


1992-2001



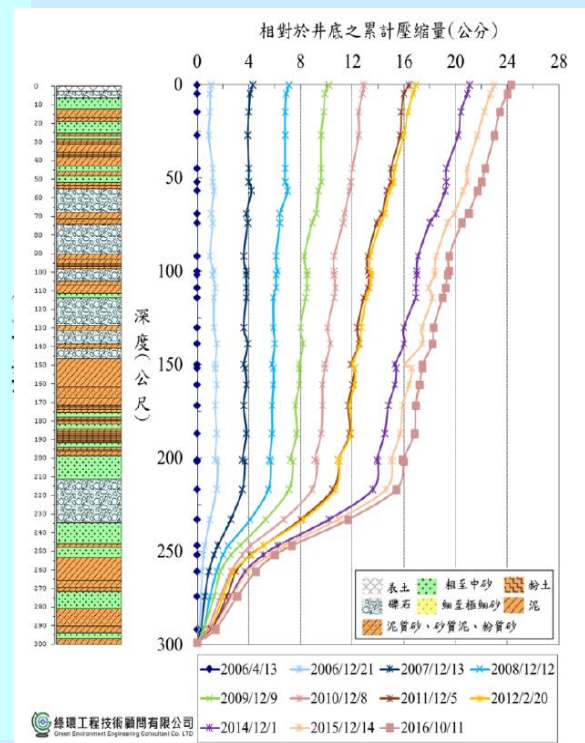
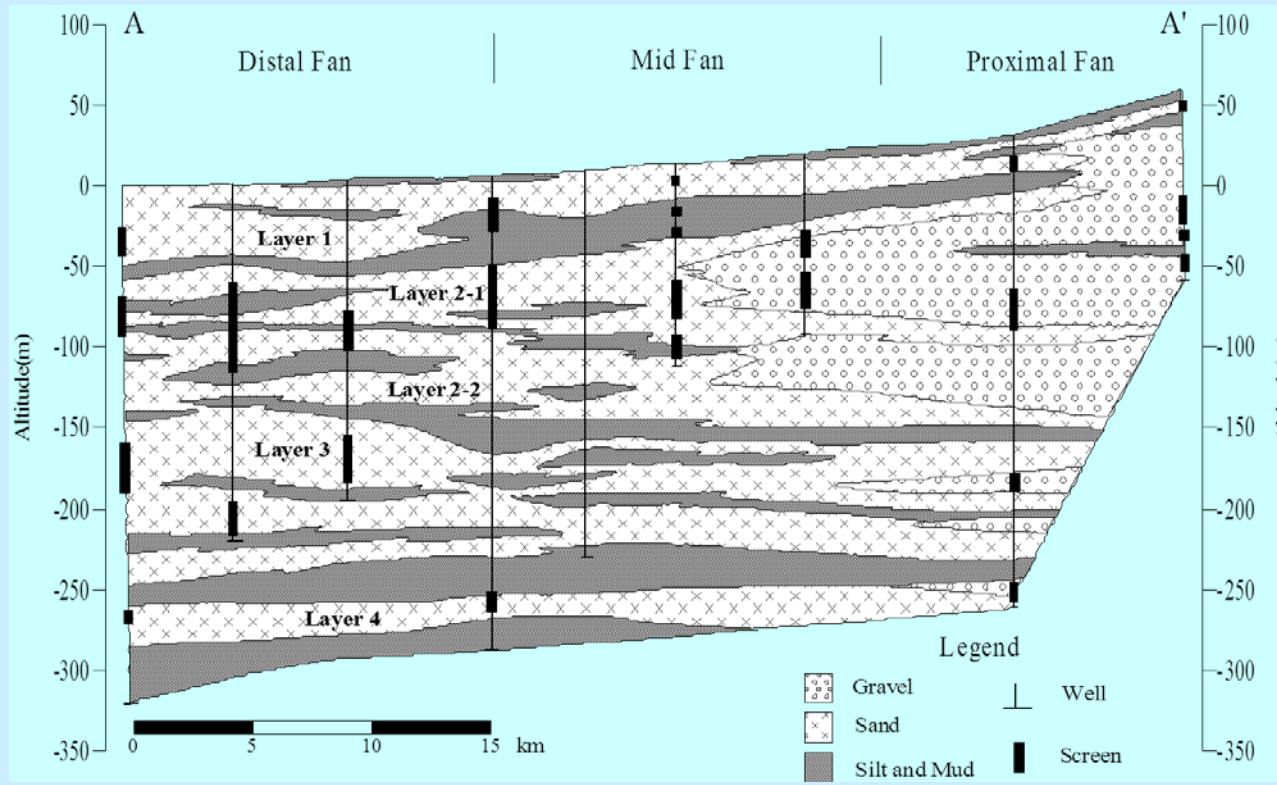
2001-2016

# Subsidence in Chousui river alluvial fan



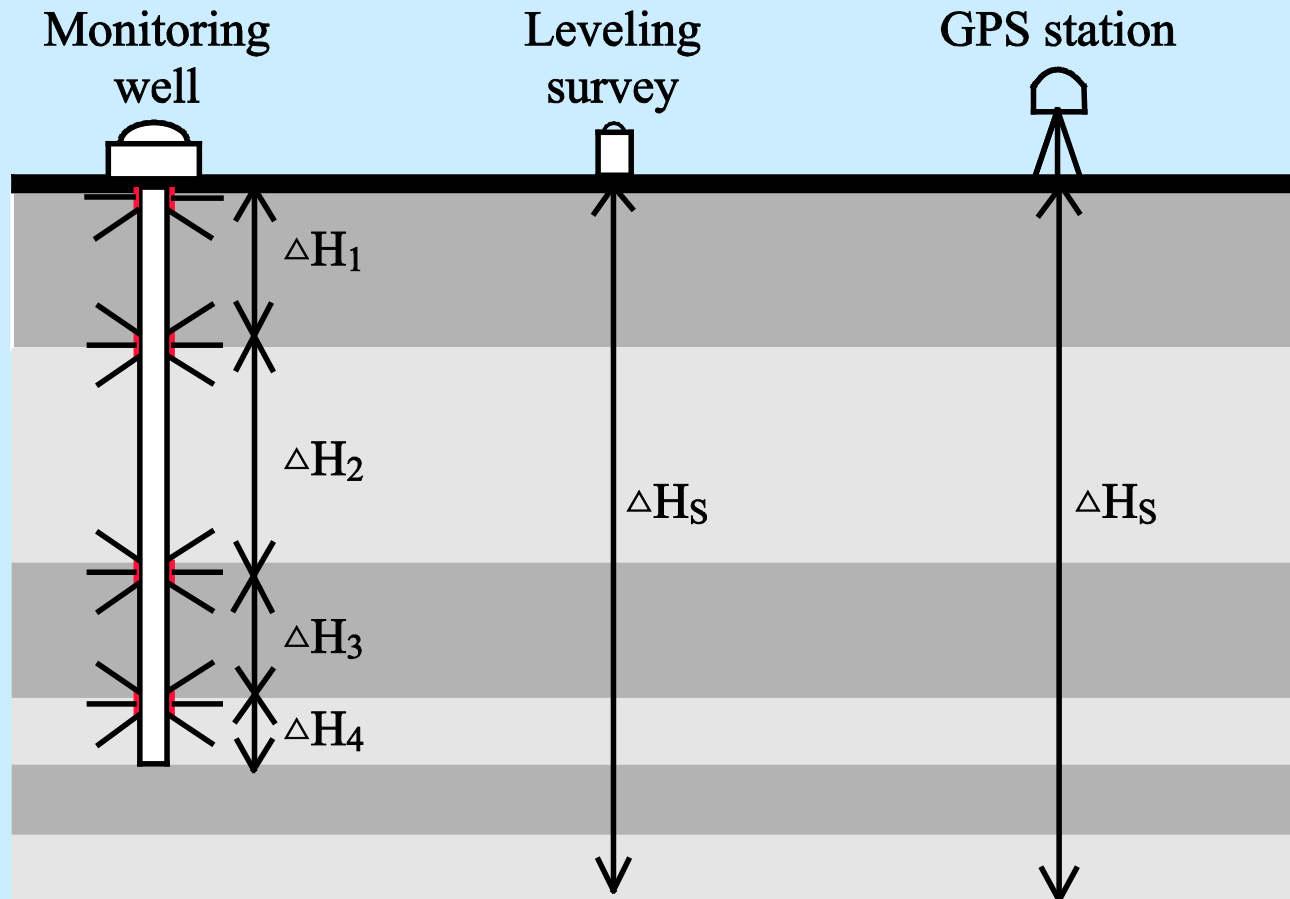
(Water Resources Agency, 2015)

# Hydrogeology of Chousui river alluvial fan (CSRAF)

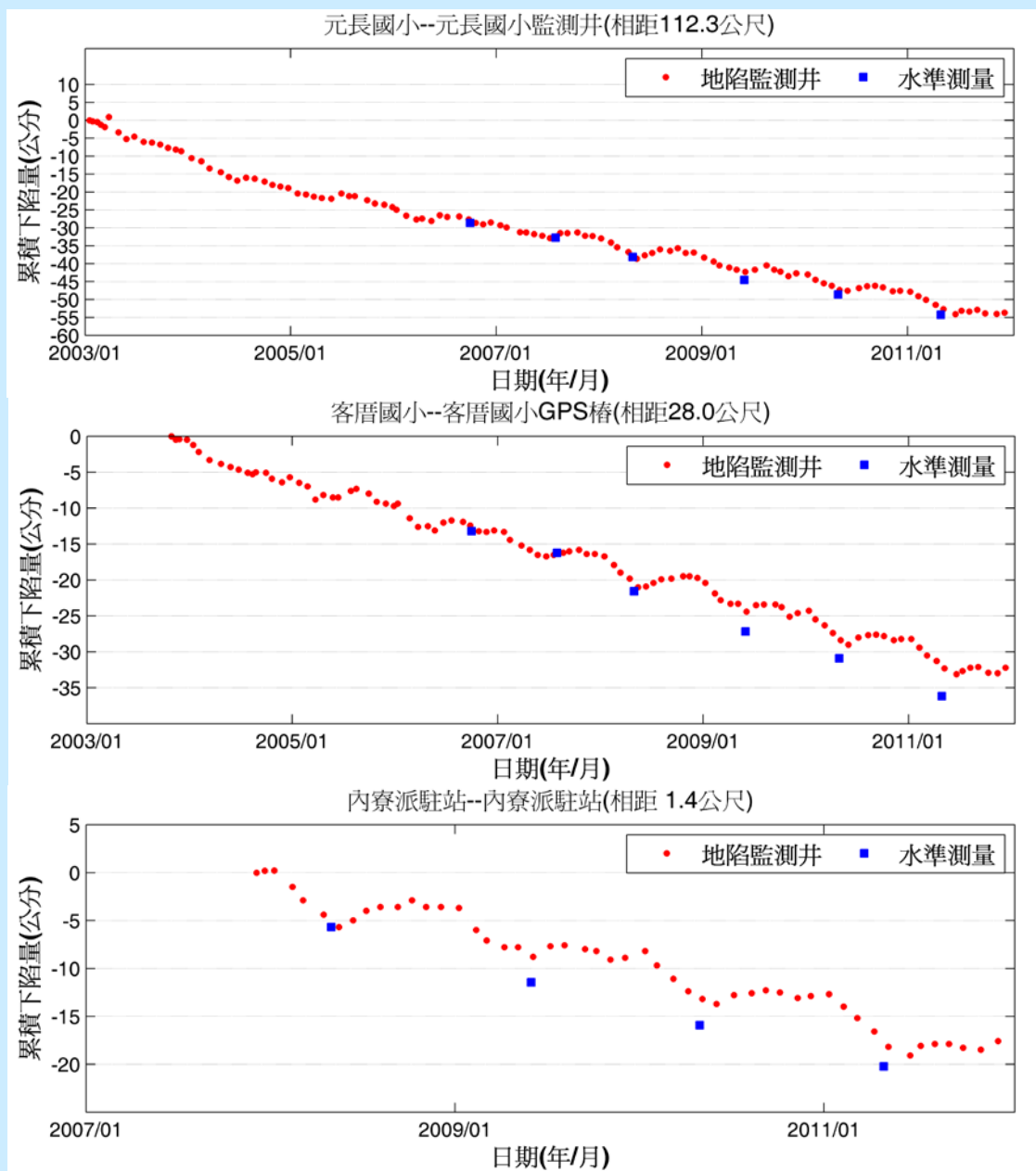


(Water Resources Agency, 2016)

# Subsidence monitoring system



# Subsidence in deeper layer?



# Which layer contributes the subsidence?

	Thickness (m)	Compaction (cm)	Contribution to total compaction (%)
Aquifer 1	59.9	5.10	17.18
Aquitard 1	10	1.03	3.46
Aquifer 2-1	3	0.34	1.15
Aquitard 2	4	0.45	1.53
Aquifer 2-2	69.9	11.94	40.2
Aquitard 3	20	2.41	8.11
Aquifer 3	36	8.43	28.37

Subsidence at 1995-2014

# Water use in CSRAF

- 溪濁水：台灣最長河流，水資源最豐富。
- 1719施世榜修築八堡圳，引濁水溪，灌溉彰化，南北岸不均衡發展，彰化平原成為台灣最重要穀倉。
- 1760莿仔埤圳
- 1924濁幹線。
- 1927武界引水至日月潭，發電後灌溉。
- 1937『二十六年分水協定書』
- 1955斗六大圳。
- 1959台糖、水利會公同開發雲林地下水。糧食局也呼籲農民開發地下水。發生井干擾糾紛。
- 1970養殖漁業興起，1978魚塭面積激增，大量抽用地下水。
- 1998地調所完成濁水溪沖積扇水文地質調查研究建立地下水觀測網
- 2001集集共同引水工程，期望解決南北兩岸分水、爭水爭議以及地下水超抽引致地層下陷，與確保六輕用水。
- 2002-2009農業平均用水17億噸/年，工業用水量平均1.1億噸/年，農業支援工業用水1.2億噸/年。
- 為免受地表水榮枯影響，及圳水草籽、福壽螺卵管理困擾，農民仍多用地下水。
- 2012高鐵沿線禁抽地下水，農委會推黃金廊道，78號快速道路移土方。
- 2014湖山水庫大壩竣工，提供公共給水。
- 2016調查雲彰地區有卅一萬口水井，彰化平均每八人就有一口井；雲林更嚴重，平均每四人就有一口井。

# Puzzles about the subsidence

- Why aquifer subside more?
- Who is responsible for the subsidence?
  - Deep water users or shallow water users?
  - Users in distal fan or in the mid fan?
- Why not uniformly subside?
- So what for the subsidence?

# 1-D Stochastic poroelastic model

$$a^{-1} \frac{\partial^2 \langle w(z,t) \rangle}{\partial z^2} - \alpha \frac{\partial \langle P(z,t) \rangle}{\partial z} = 0$$

$$\alpha \frac{\partial^2 \langle w(z,t) \rangle}{\partial t \partial z} + Q^{-1} \frac{\partial \langle P(z,t) \rangle}{\partial t} - K_G \frac{\partial^2 \langle P(z,t) \rangle}{\partial z^2} = 0$$

$$a^{-1} \frac{\partial^2 C_{Yw}(z,t;Z,\tau)}{\partial Z^2} - \alpha \frac{\partial C_{Yp}(z,t;Z,\tau)}{\partial Z} = 0$$

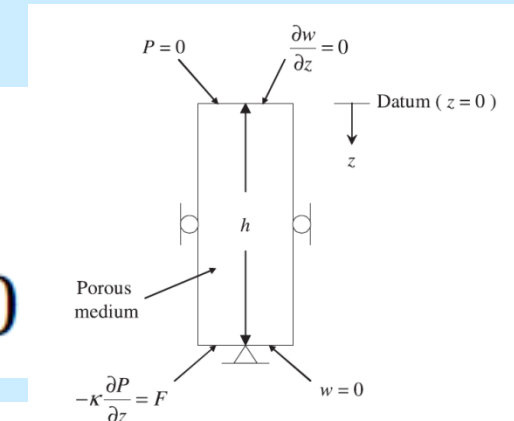
$$\alpha \frac{\partial^2 C_{Yw}(z,t;Z,\tau)}{\partial \tau \partial Z} + Q^{-1} \frac{\partial C_{Yp}(z,t;Z,\tau)}{\partial \tau} - K_G \frac{\partial^2 C_{Yp}(z,t;Z,\tau)}{\partial Z^2} - K_G \frac{\partial}{\partial Z} \left[ C_{YY}(z,t;Z,\tau) \frac{\partial \langle P(Z,\tau) \rangle}{\partial Z} \right] = 0$$

$$a^{-1} \frac{\partial^2 C_{wp}(z,t;Z,\tau)}{\partial z^2} - \alpha \frac{\partial C_{pp}(z,t;Z,\tau)}{\partial z} = 0$$

$$\alpha \frac{\partial^2 C_{wp}(z,t;Z,\tau)}{\partial t \partial z} + Q^{-1} \frac{\partial C_{pp}(z,t;Z,\tau)}{\partial t} - K_G \frac{\partial^2 C_{pp}(z,t;Z,\tau)}{\partial z^2} - K_G \frac{\partial}{\partial z} \left[ C_{Yp}(z,t;Z,\tau) \frac{\partial \langle P(z,t) \rangle}{\partial z} \right] = 0$$

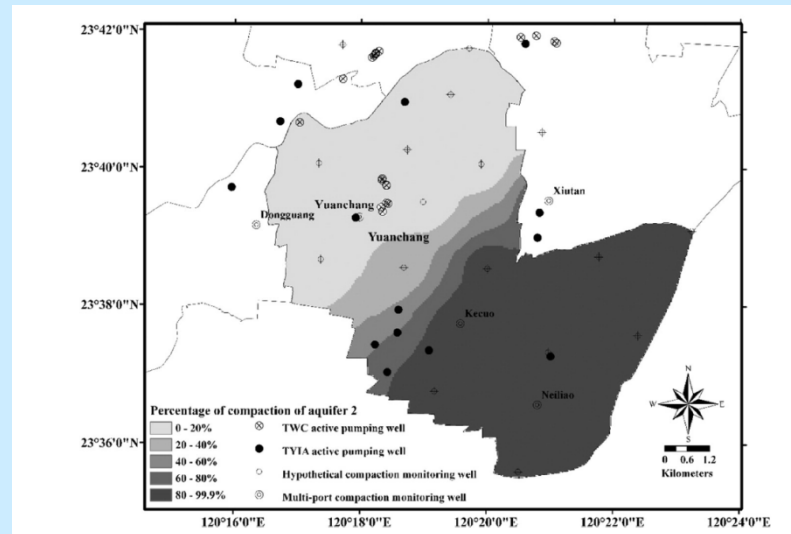
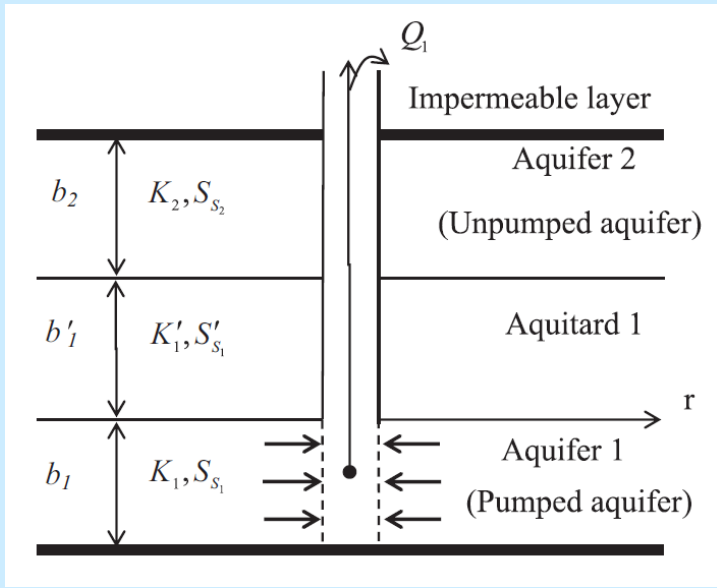
$$a^{-1} \frac{\partial^2 C_{ww}(z,t;Z,\tau)}{\partial z^2} - \alpha \frac{\partial C_{pw}(z,t;Z,\tau)}{\partial z} = 0$$

$$\alpha \frac{\partial^2 C_{ww}(z,t;Z,\tau)}{\partial t \partial z} + Q^{-1} \frac{\partial C_{pw}(z,t;Z,\tau)}{\partial t} - K_G \frac{\partial^2 C_{pw}(z,t;Z,\tau)}{\partial z^2} - K_G \frac{\partial}{\partial z} \left[ C_{Yw}(z,t;Z,\tau) \frac{\partial \langle P(z,t) \rangle}{\partial z} \right] = 0$$

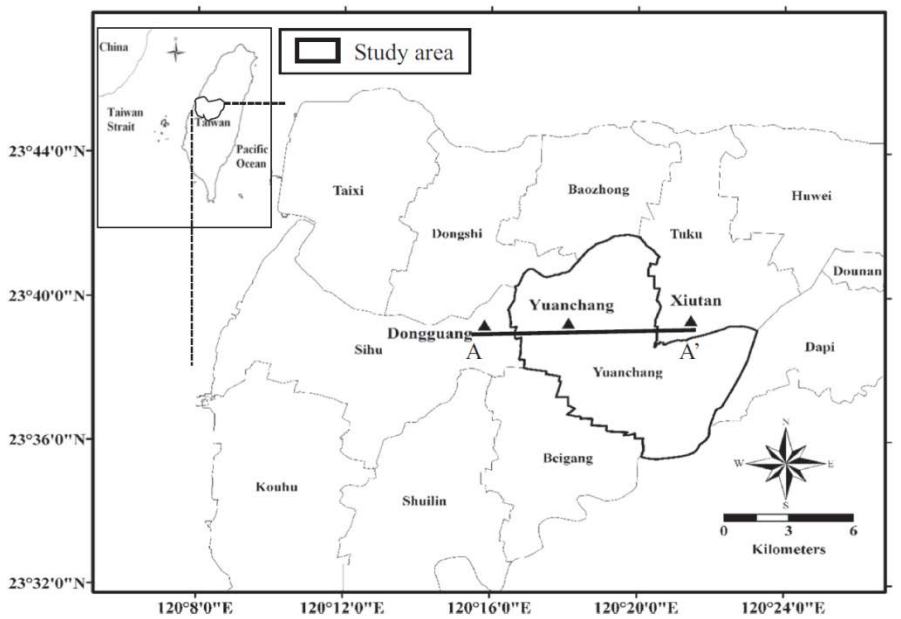


(Wang and Hsu, 2009, 2013)

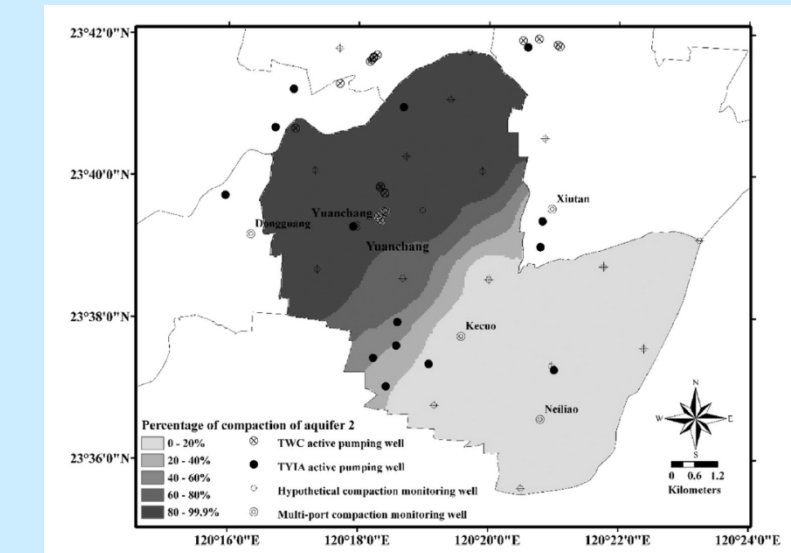
# 3-D subsidence modeling



Aquifer 2: Single-layer contribution

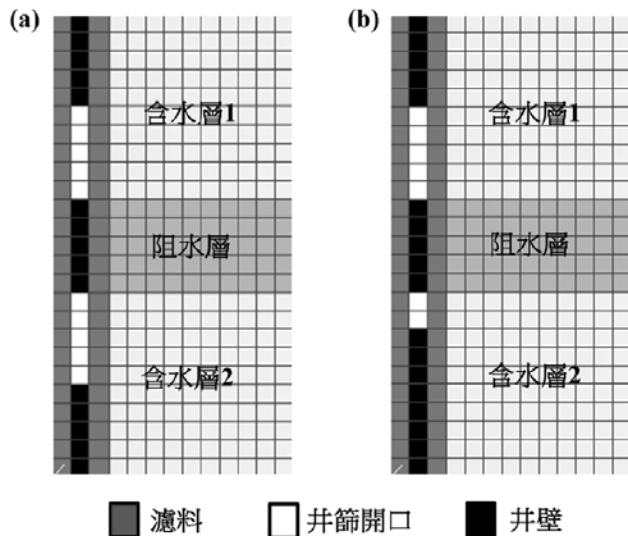
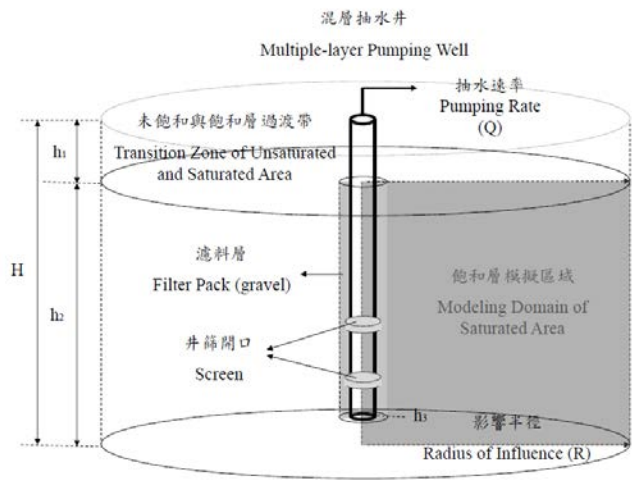


(Lin et al., 2015)



Aquifer 2: Multi-layer contribution

# Multi-layer pumping



(蔡文瀚等人, 2013)

案例	抽水源深度(公尺)	井篩深度(公尺)	含水層導水係數比值( $T_1/T_2$ )	模擬出水量比值( $Q_1/Q_2$ )
點抽水源	0.5	0~25	1.04	1.94
	12.5	0~25		1.04
	24.5	0~25		0.57
線抽水源	0~25	0~25		1.04
井篩長度	0.5	5~10 & 15~20		1.86
	0.5	5~10 & 15~17		1.91

$Q_n$ 為第n含水層模擬出水量

$T_n$ 為第n含水層導水係數

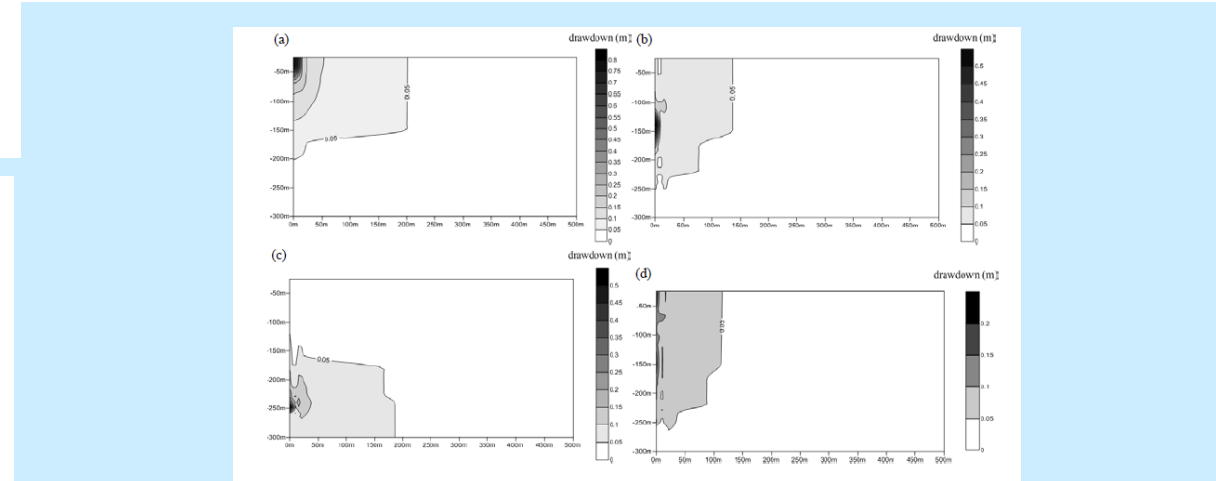
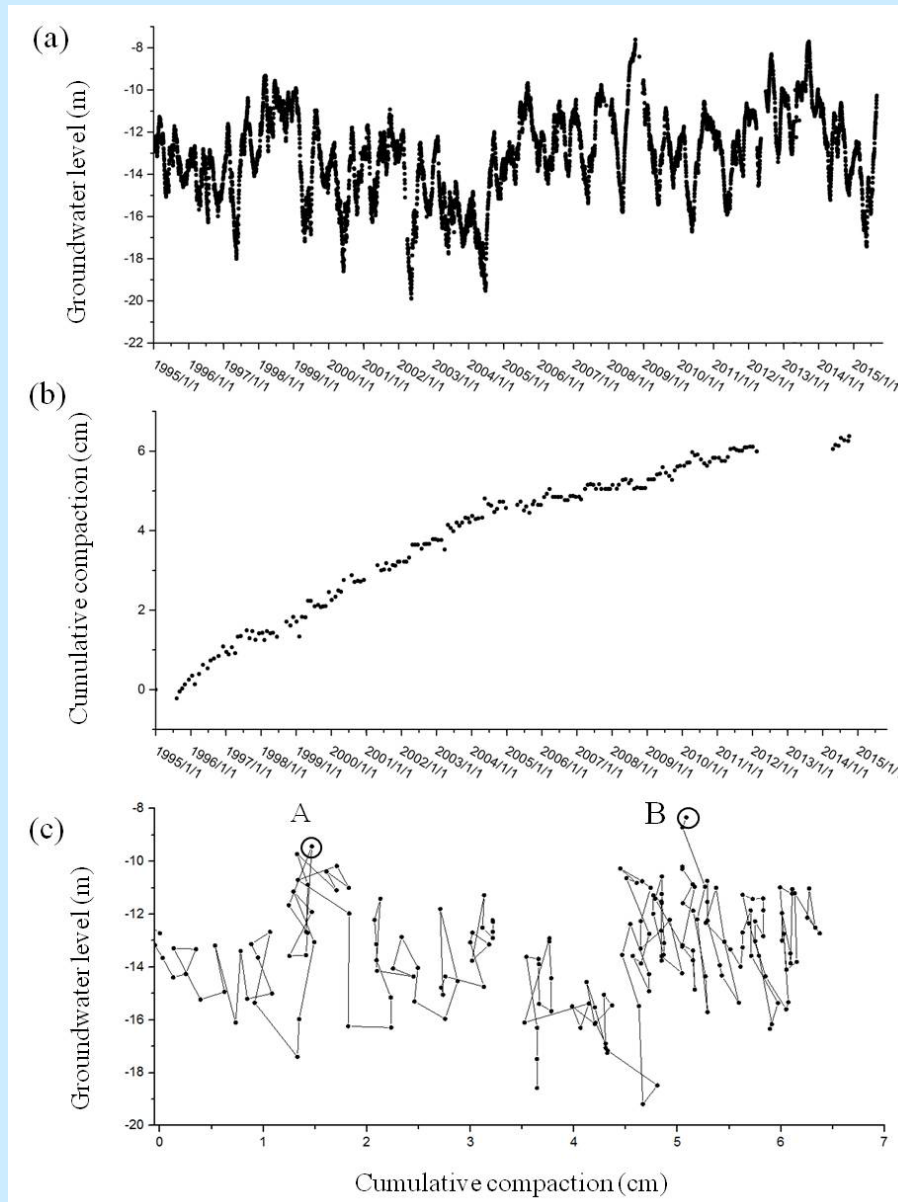


表3 元長7號井各案例之含水層出水量比例比較表

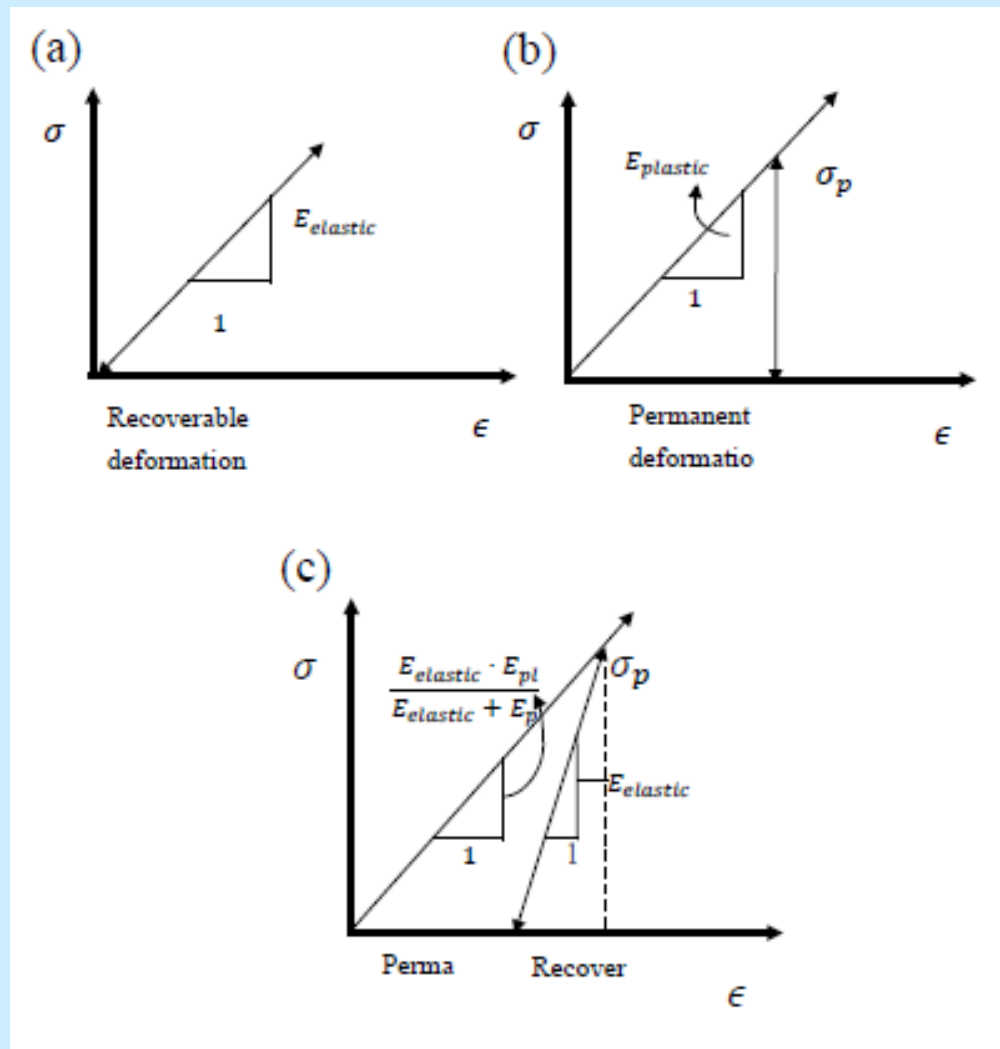
比例	抽水源深度(公尺)與所在位置			
	42.5	137.5	252.5	25~235
第一阻水層				均布
模擬出水量比例 <sup>a</sup> ( $Q_2 : Q_3$ )	13.04 : 2.16	5.60 : 2.36	0.61 : 0.98	3.64 : 1.77
含水層導水係數比例 <sup>b</sup> ( $T_2 : T_3$ )			1.93 : 0.98	

$Q_n$ 為第n含水層模擬出水量； $T_n$ 為第n含水層導水係數；<sup>a</sup>以 $Q_4$ 為1做為基準；<sup>b</sup>以 $T_4$ 為1做為基準

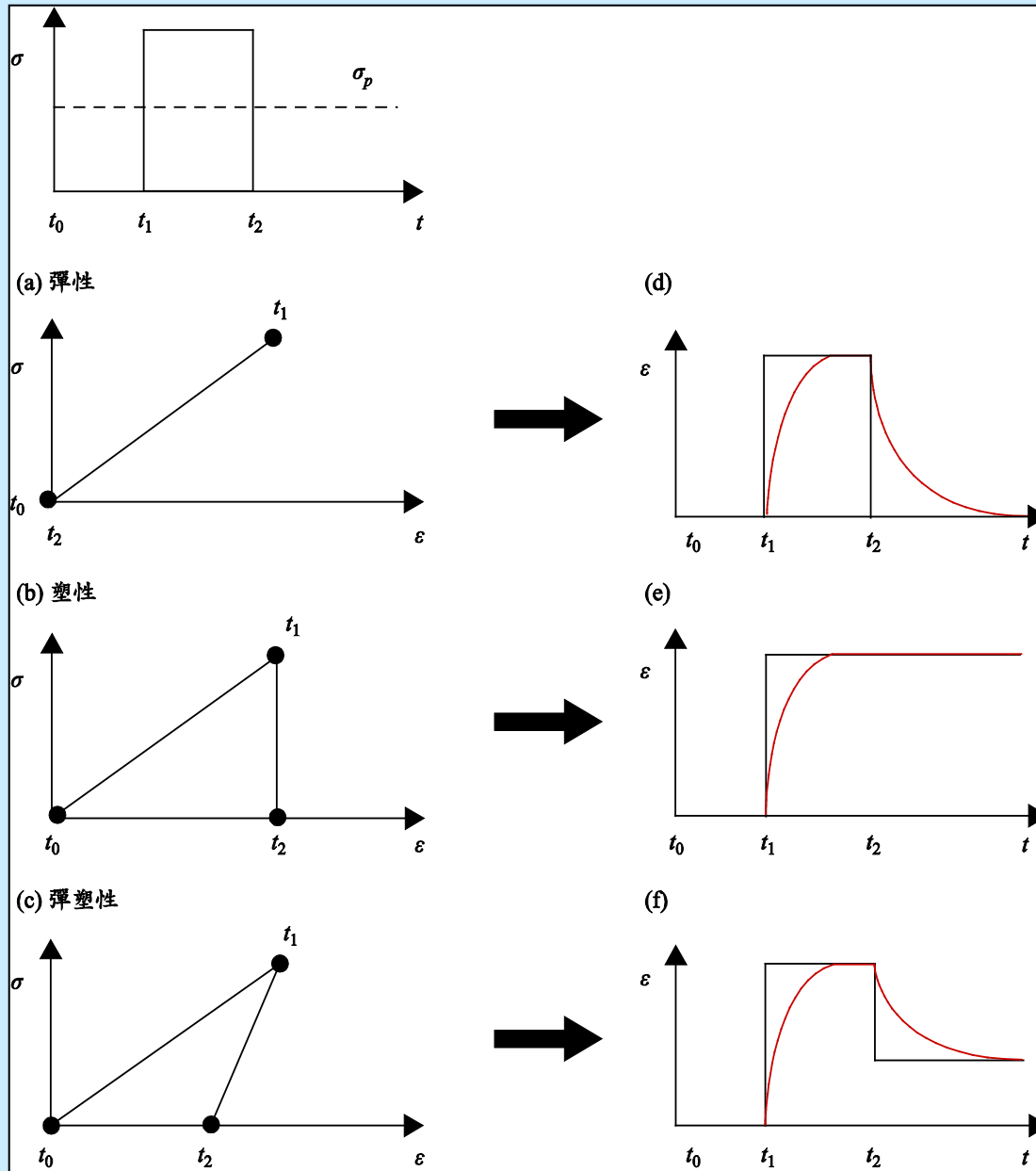
# Groundwater level and cumulative compression at Boltz station of aquifer 2-2



# Stress-strain relations for (a) elastic, (b) plastic and (c) elasto-plastic model

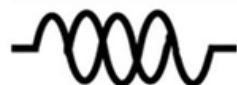


# Viscous effect

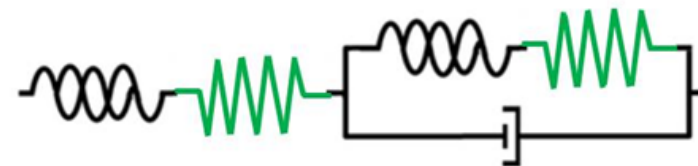


# Poromechanical models

(a) Elastic model



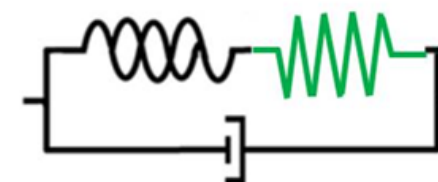
(e) VEP 1 model



(b) Plastic model



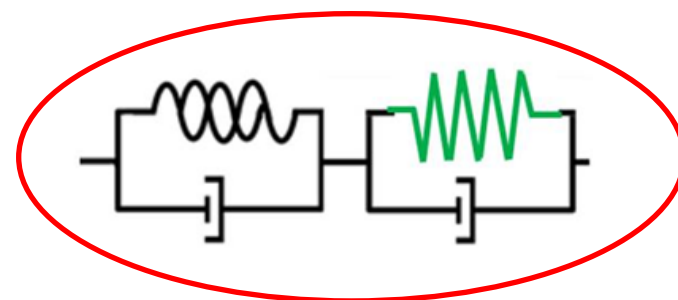
(f) VEP 2 model



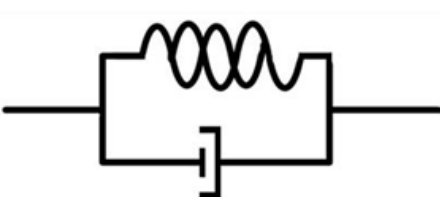
(c) Elasto-plastic model



(g) proposed VEP model



(d) Visco-elastic model



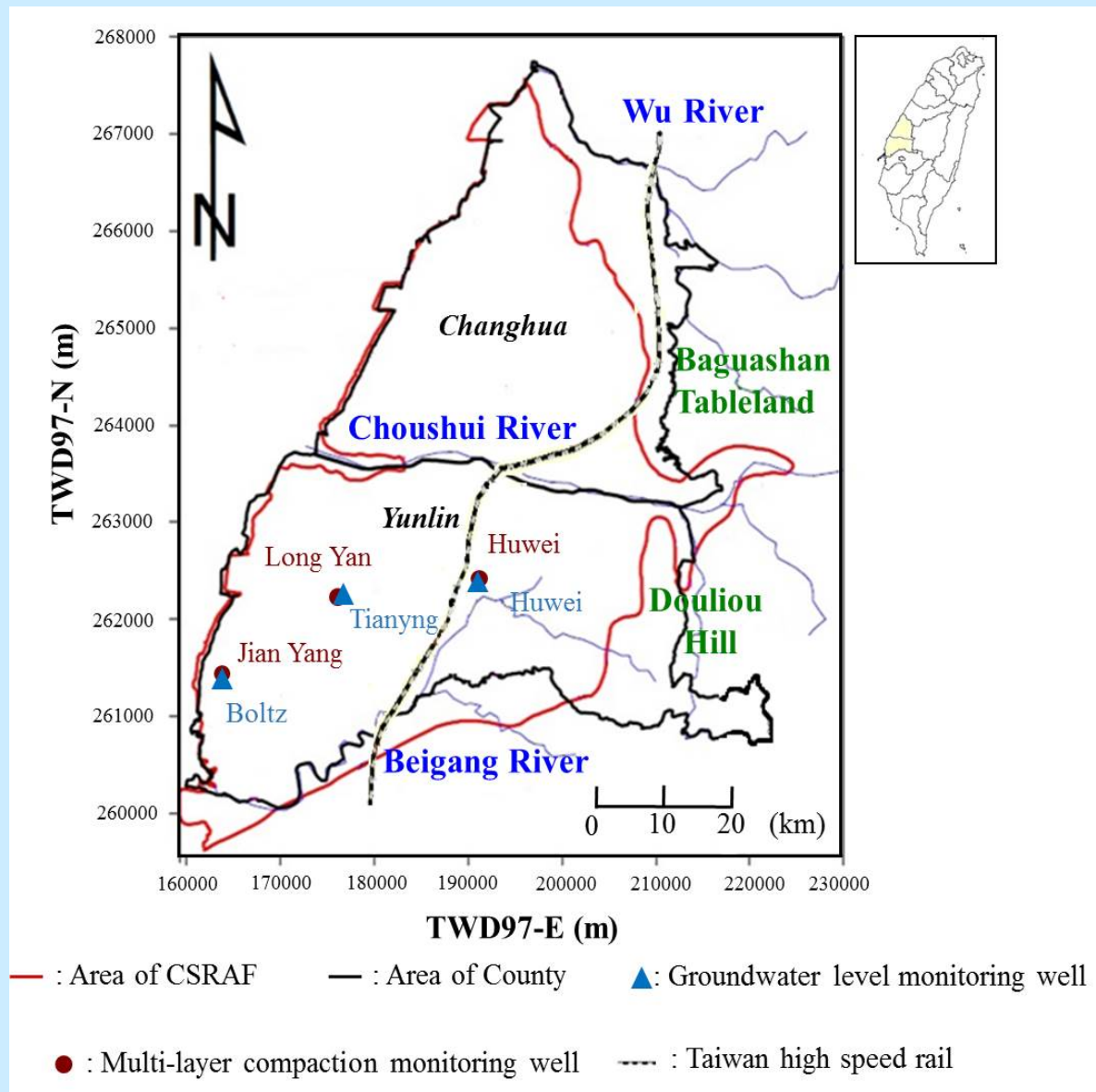
: Elastic spring

: Plastic spring

# Parameter used in the model

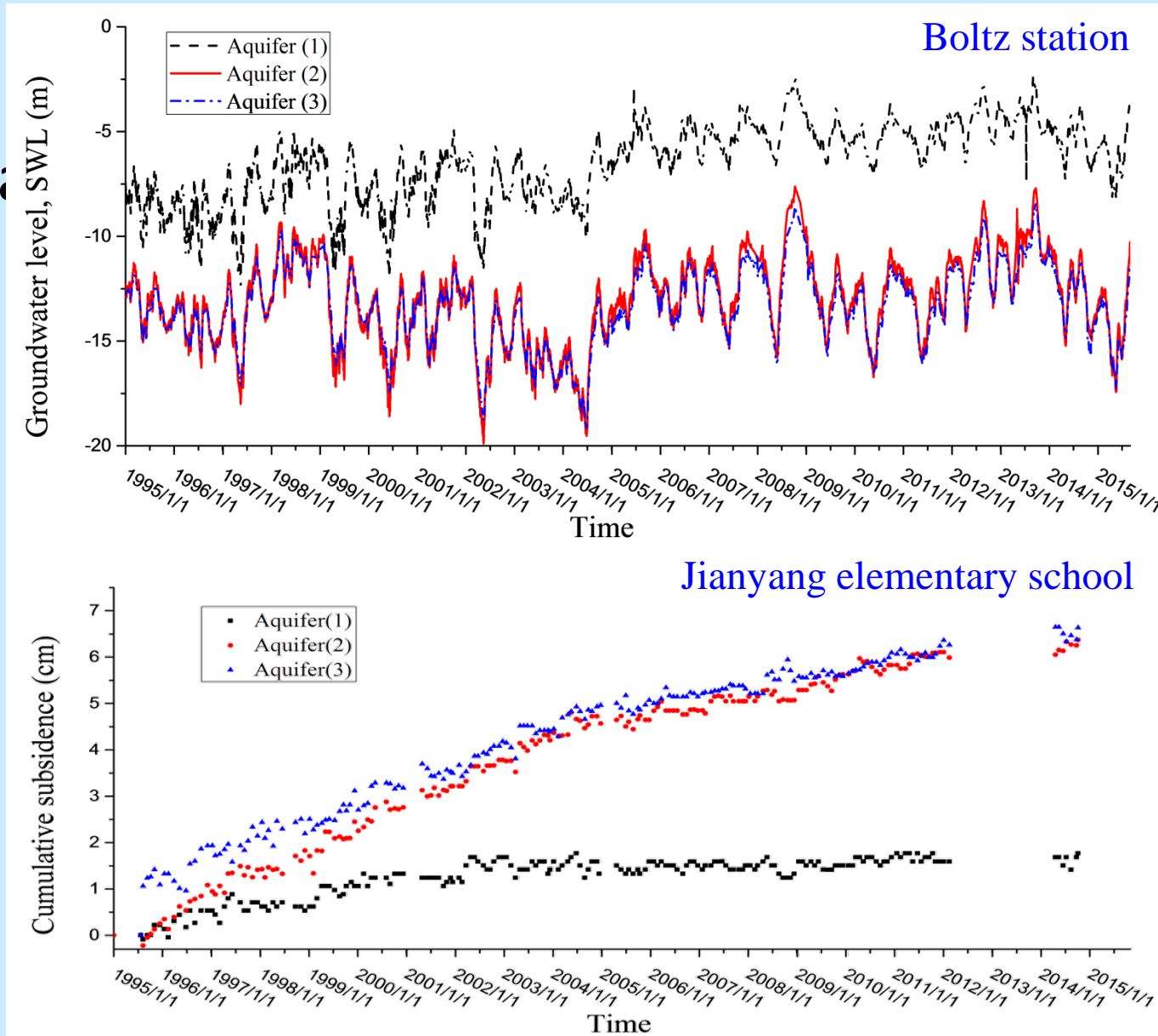
	彈性模數	塑性模數	黏滯係數
EL	✓	✗	✗
EP	✓	✓	✗
VE	✓	✗	✓
VEP	✓	✓	✓
SVEP	✓	✓	✓

# Study area

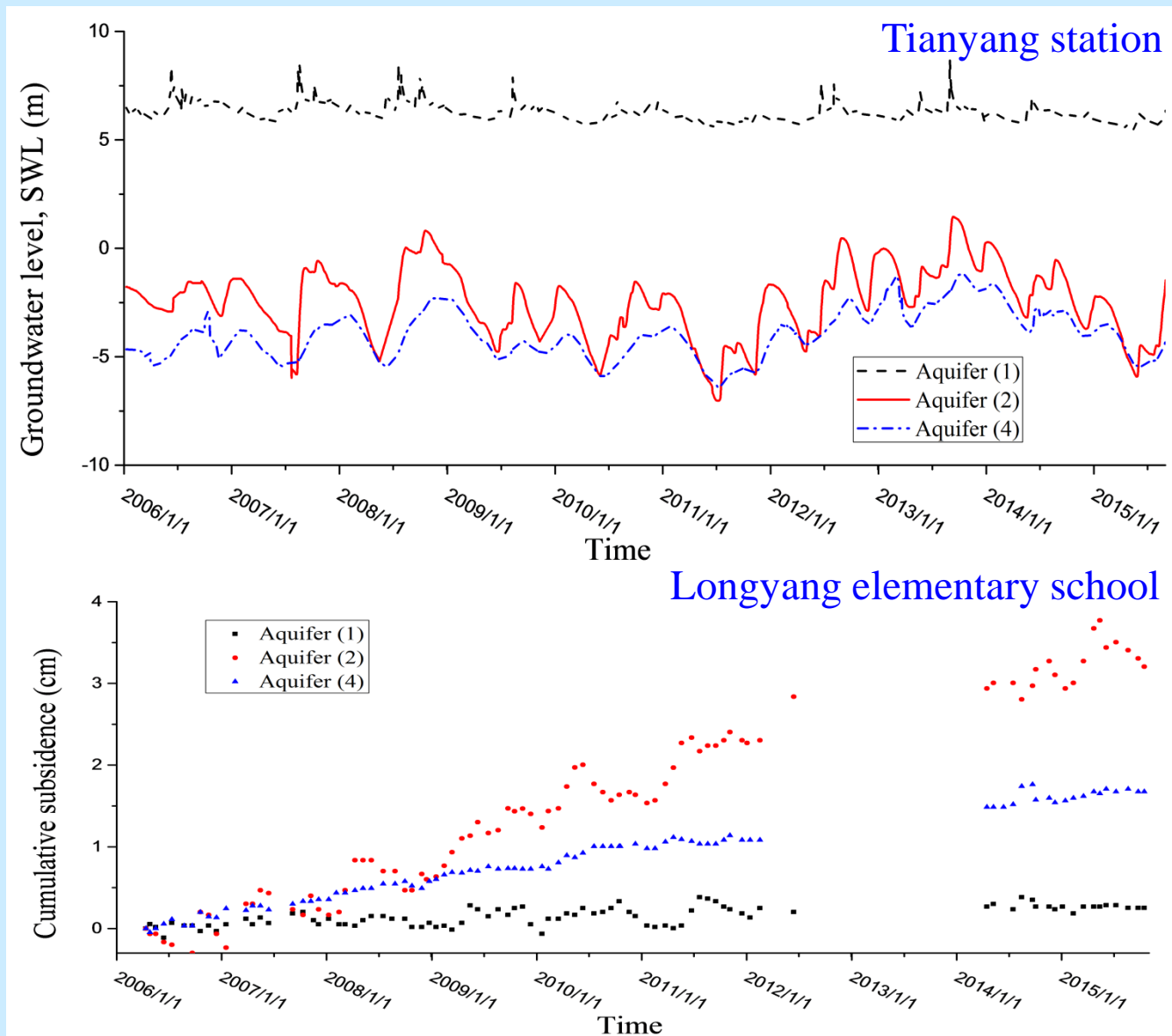


# The distal fan

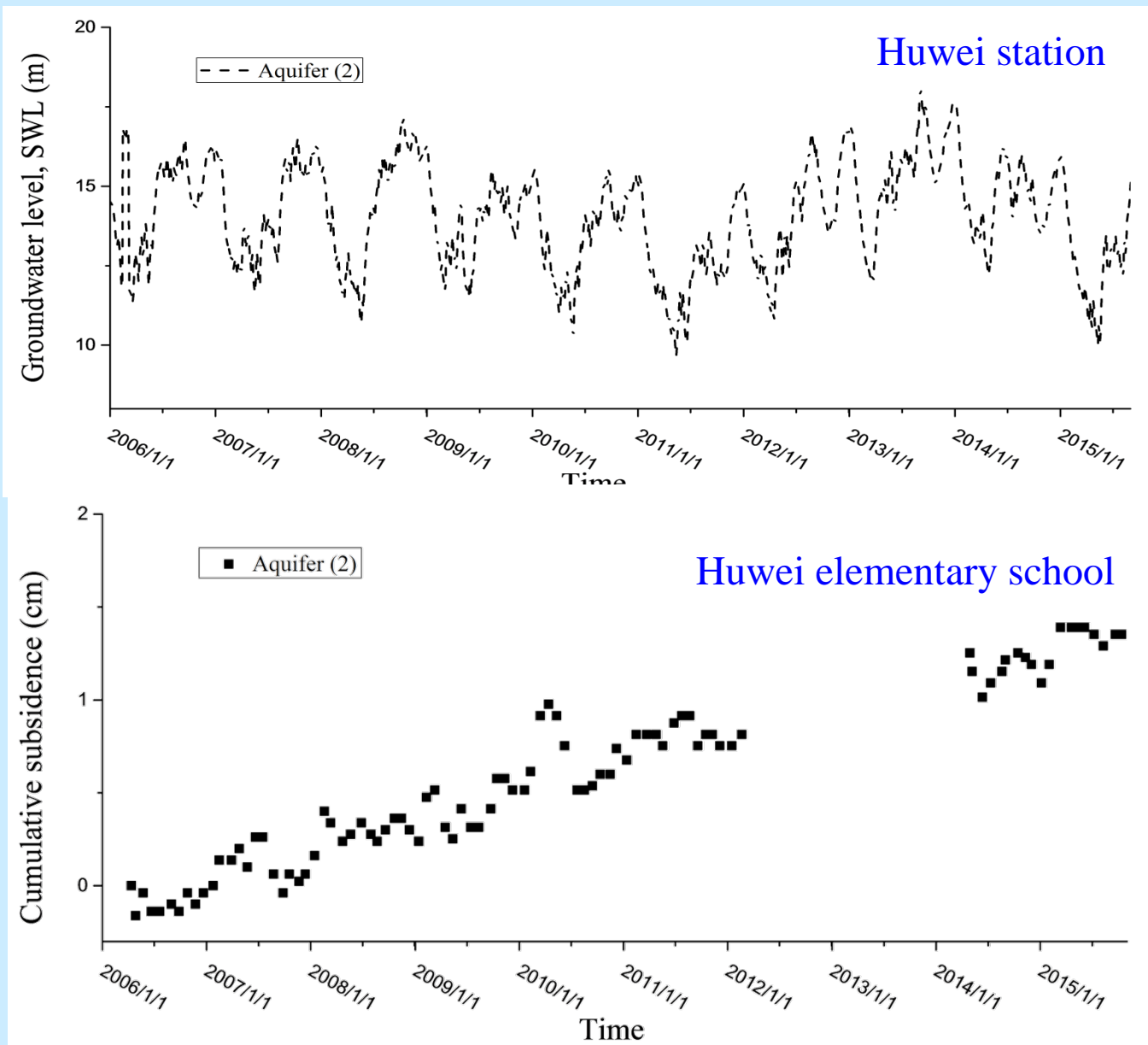
• Jianyang



# The middle fan



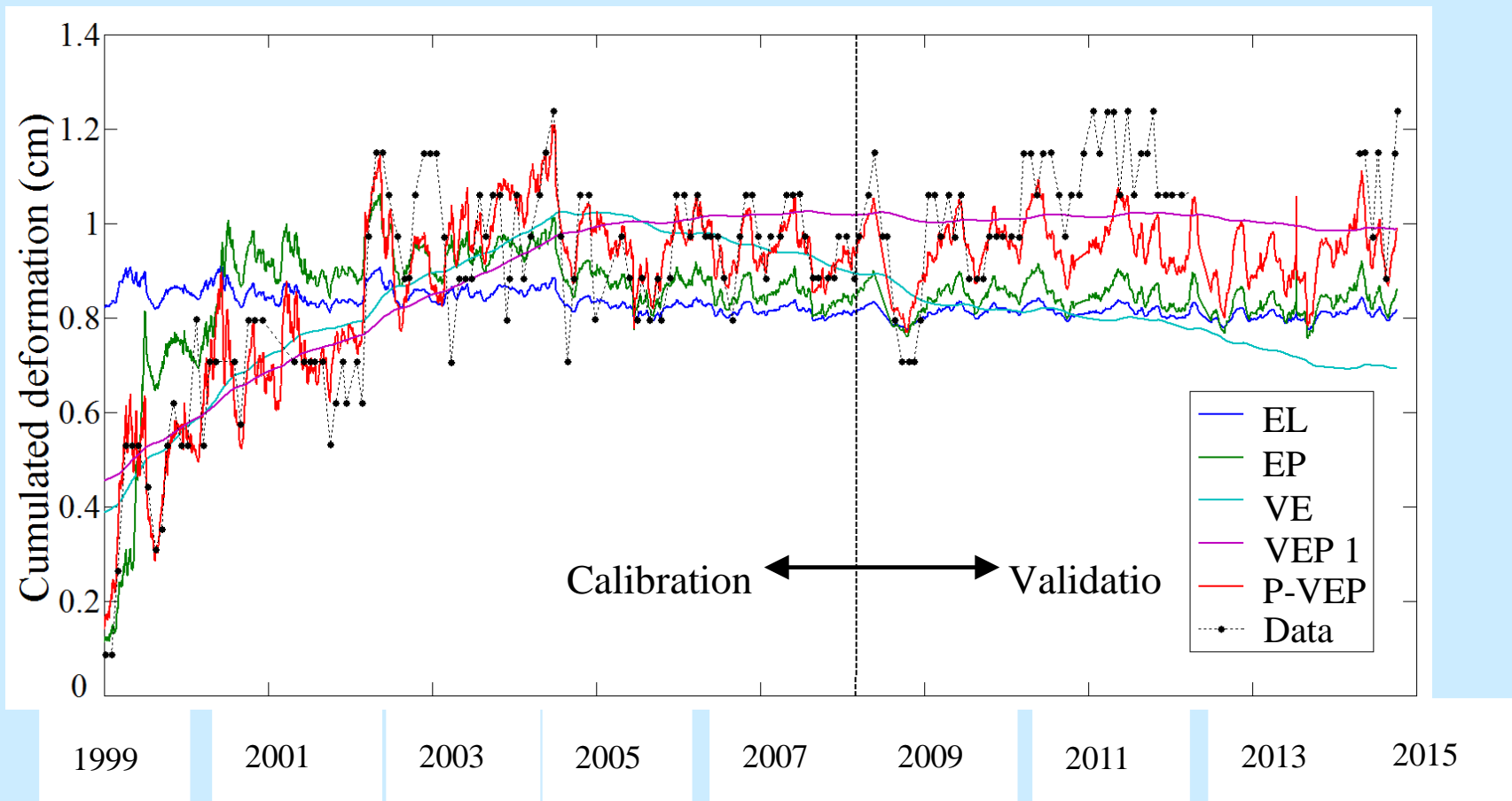
# The proximal fan



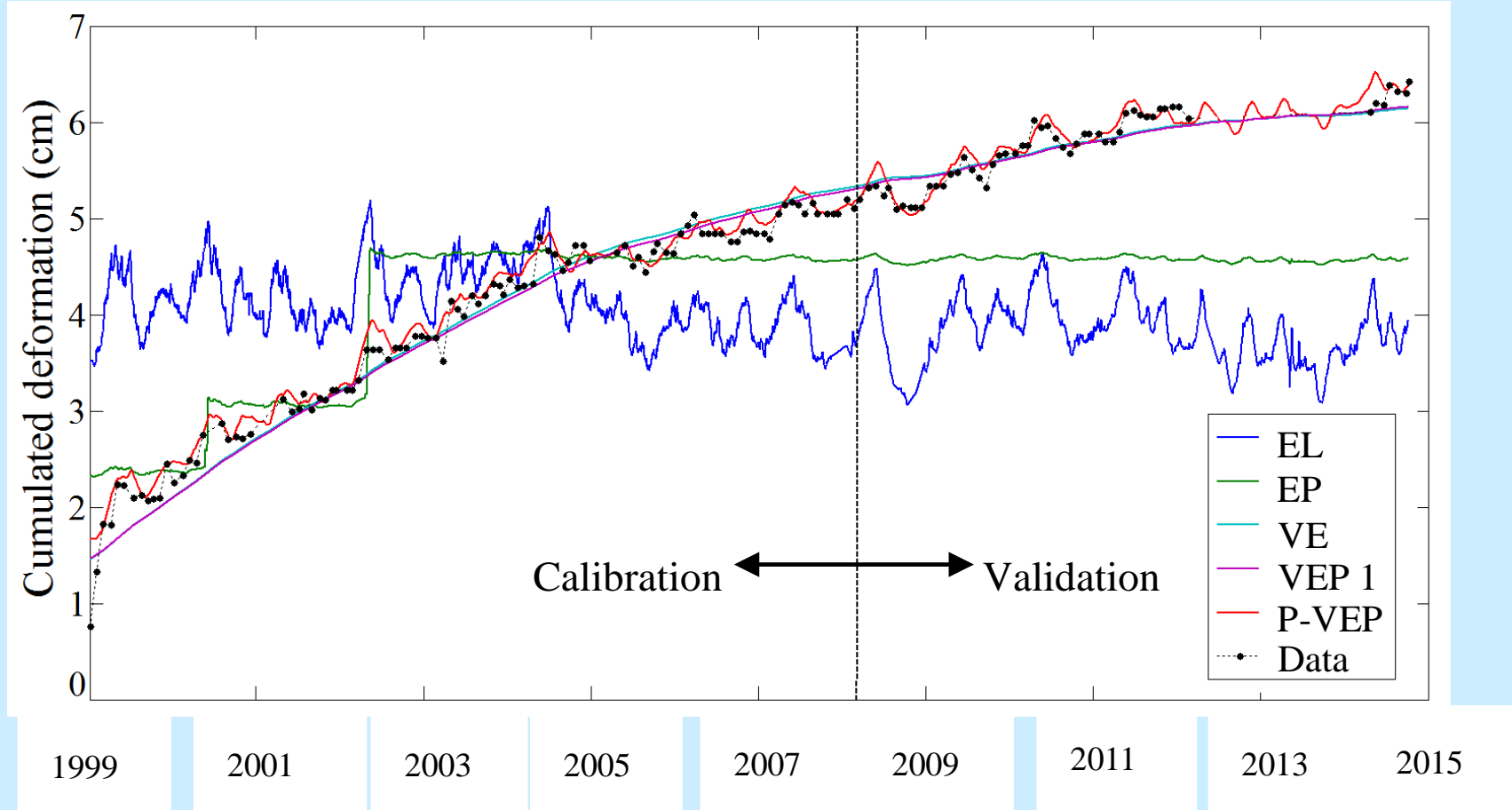
# Data used

Site	Calibration	Verification
Boltz	1999/1/6~2007/12/12	2008/1/17~2014/10/4
Tianyang	2007/1/7~2010/12/10	2011/1/20~2015/12/16
Huwei	2007/1/25~2010/12/8	2011/1/13~2015/12/14

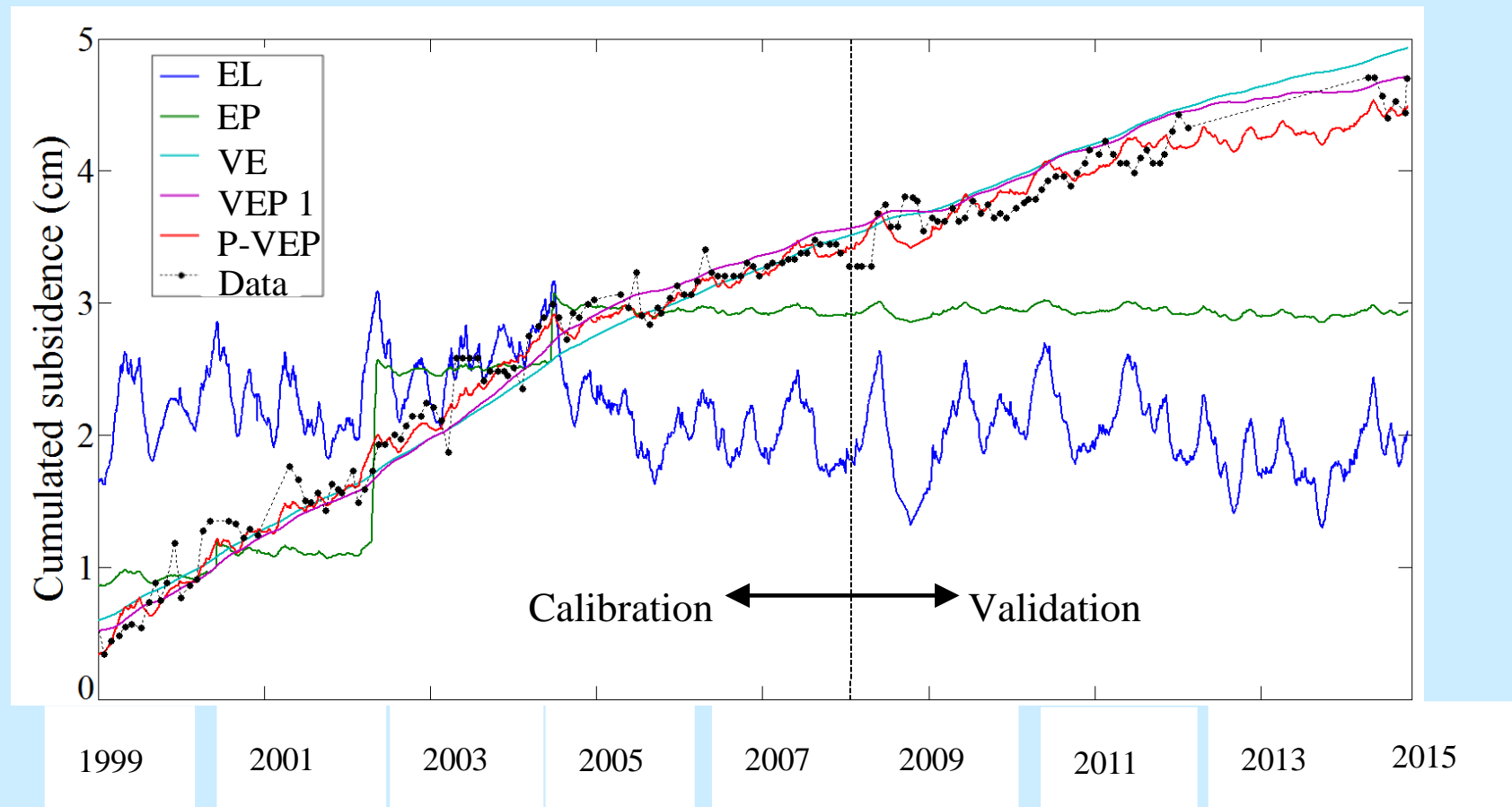
# Aquifer 1 of Boltz station



# Aquifer 2 of Boltz station



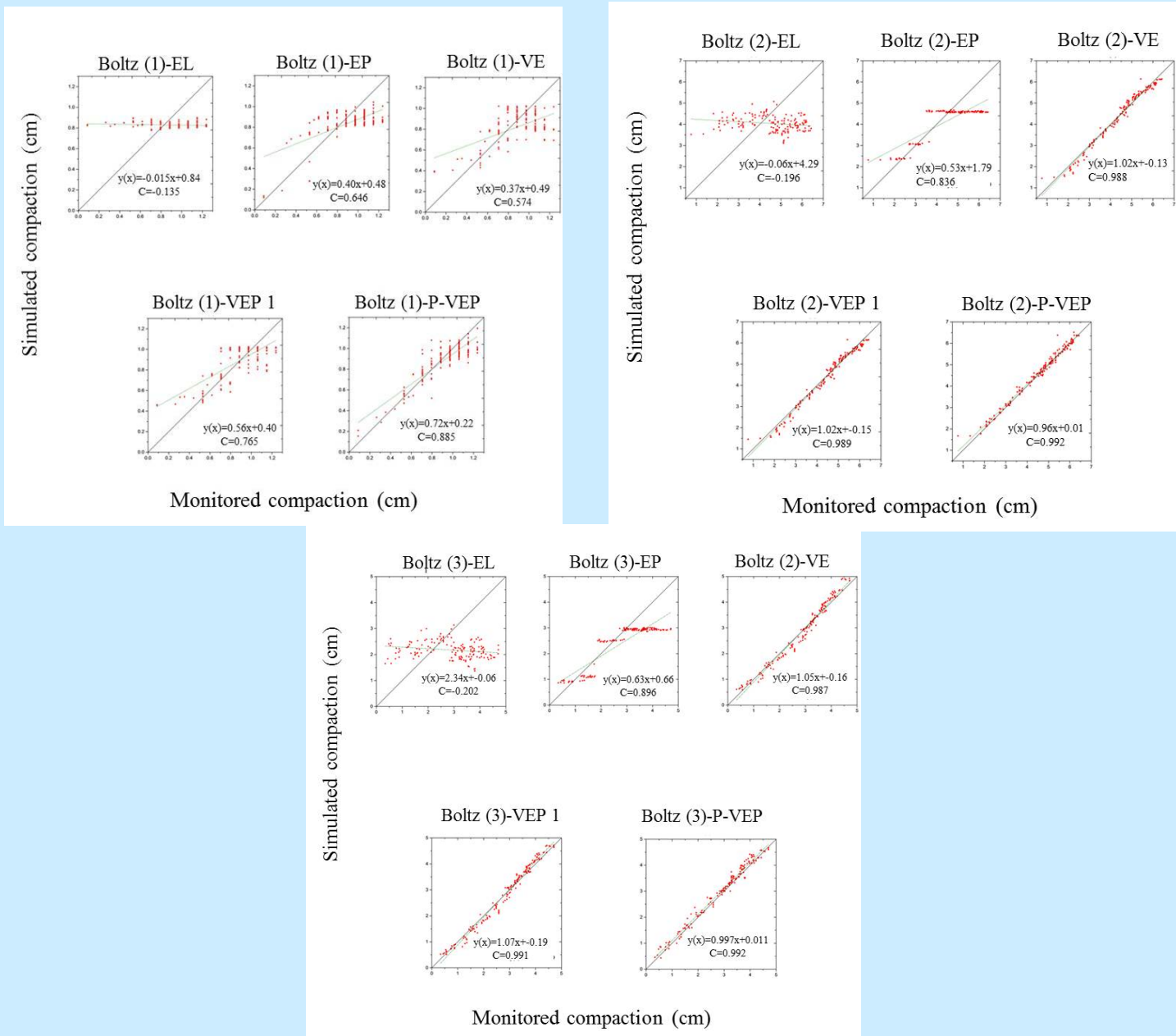
# Aquifer 3 of Boltz station



$$ARE = \frac{\sum_{i=1}^n \left| \frac{s_i - \hat{s}_i}{\hat{s}_i} \right|}{n}$$

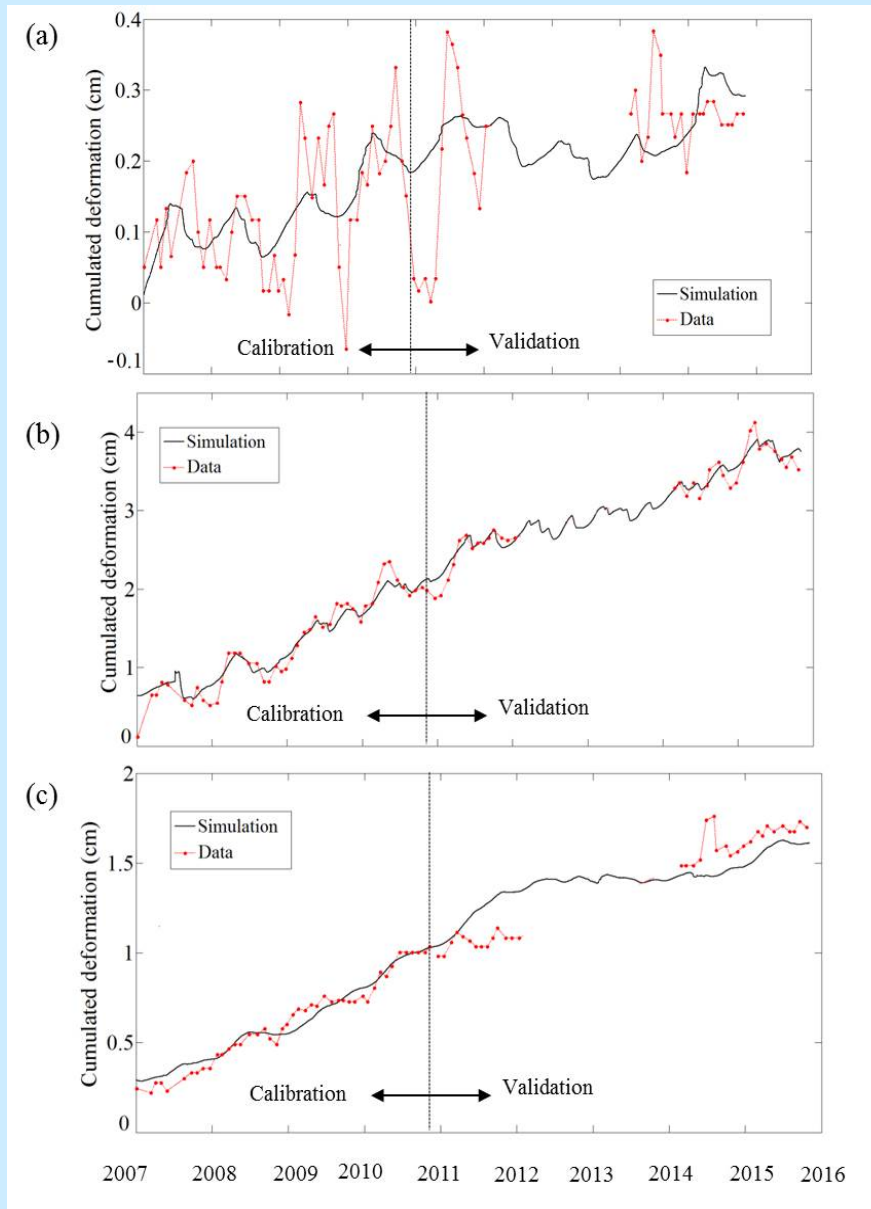
	Model	Calibration (%)	Verification (%)
Aquifer 1	EL	41.74	21.27
	EP	19.40	18.08
	VE	20.02	22.84
	VEP1	22.19	11.19
	VEPS	10.42	9.73
Aquifer 2	EL	35.30	31.63
	EP	11.80	19.61
	VE	5.63	2.46
	VEP1	5.73	2.38
	VEPS	4.31	1.59
Aquifer 3	EL	61.54	46.92
	EP	18.02	24.42
	VE	9.00	4.77
	VEP1	8.81	4.04
	VEPS	6.47	3.34

# Boltz station

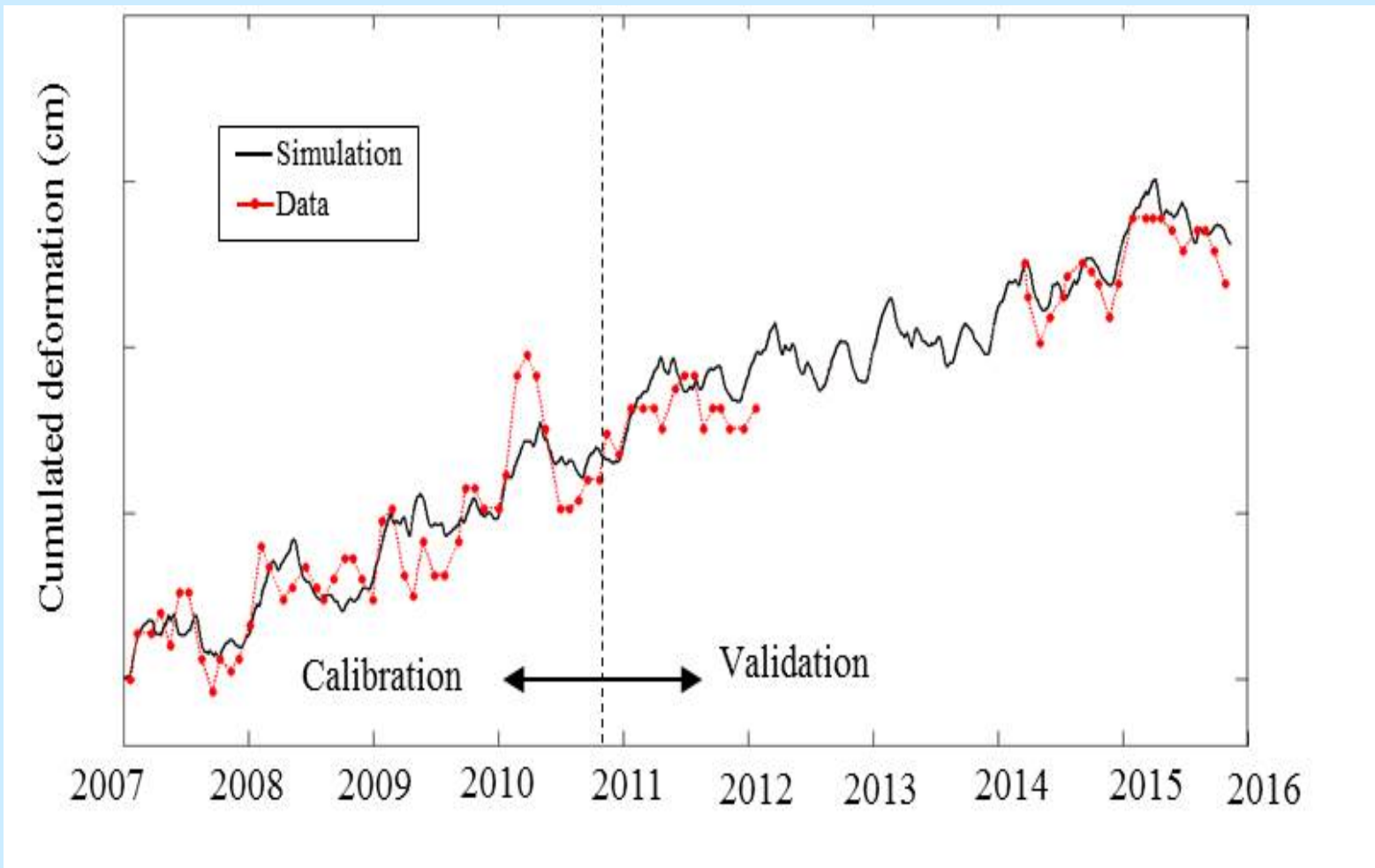




# (a) aquifer 1, (b) aquifer 2, and (c) aquifer 4 at Tingyang station

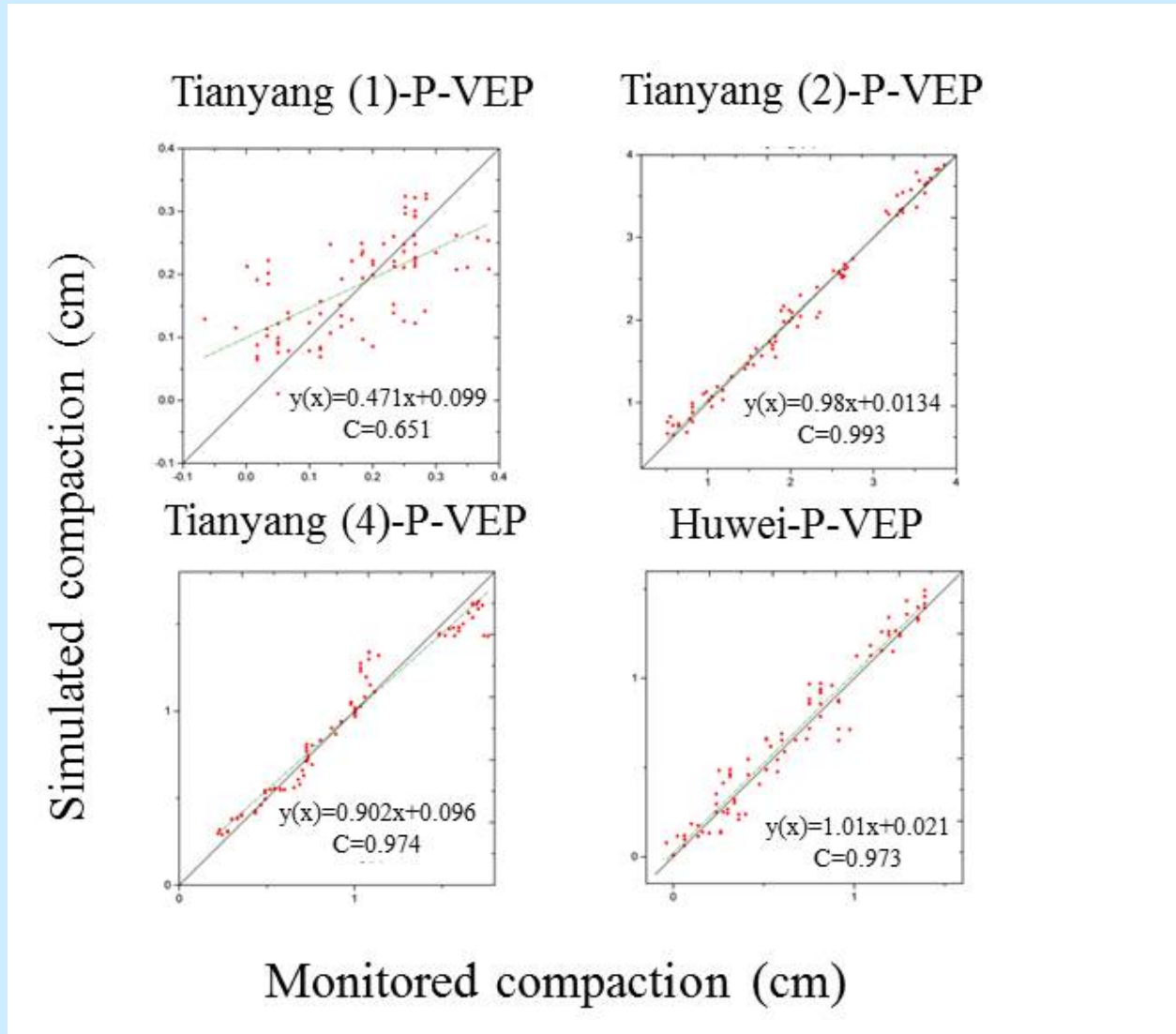


# Aquifer 2 at Huawei station



Site	Calibration (%)	Verification (%)
Tianyang (1)	41.69	446.91
Tianyang (2)	19.01	3.40
Tianyang (4)	8.38	9.79
Huwei (2)	27.68	7.69

**(a) aquifer 1, (b) aquifer 2, (c) aquifer 3 at TingYang station and (d) aquifer 2 at Huwei station**





# Spatial variation of poromechanical property

$$SRF_e = \frac{E_e}{\eta_e} \quad SRF_p = \frac{E_p}{\eta_p}$$

$$m = \frac{E_{over}}{E_{nor}} = \frac{E_e + E_p}{E_p}$$

the speed of the system response to external loading

the recovery difficulty of an aquifer

Station	Aquifer	$E_e$ (N/m <sup>2</sup> )	$E_p$ (N/m <sup>2</sup> )	$SRFe$ (1/day)	$SRFp$ (1/day)	$m$
Boltz	1	$3.41 \times 10^8$	$7.91 \times 10^8$	1.13	$8.26 \times 10^{-4}$	1.43
	2	$3.42 \times 10^8$	$6.91 \times 10^7$	$5.29 \times 10^{-2}$	$1.94 \times 10^{-4}$	5.91
	3	$5.64 \times 10^8$	$2.97 \times 10^7$	$2.60 \times 10^4$	$1.56 \times 10^{-4}$	19.99
TianYang	1	$2.05 \times 10^8$	$9.08 \times 10^7$	$1.00 \times 10^{-2}$	$3.64 \times 10^{-1}$	3.26
	2	$5.79 \times 10^8$	$4.50 \times 10^7$	$3.83 \times 10^4$	$1.31 \times 10^{-4}$	13.87
	4	$6.63 \times 10^8$	$3.73 \times 10^7$	$1.29 \times 10^4$	$9.17 \times 10^{-5}$	20.67
Huwei	2	$6.05 \times 10^8$	$1.01 \times 10^8$	$1.41 \times 10^{-1}$	$1.23 \times 10^{-4}$	6.99

# Conclusions

- The poromechanism is complex in the Choushui River alluvial fan, Taiwan.
- The phenomenon of subsidence is clear but the contributors are still arguable.
- The visco-elastic-plastic model better describe the deformation.
- The proposed VEP model outperforms other models.
- The poromechanical property spatially varies in CSRAF.
- Heterogeneity is required for accurate modeling.



# What can we do more?

- How does the soil compaction damage the groundwater system?
- What is the dynamic characters of pore-mechanism?
- How does the local deformation affect infrastructure and constructions?
- What extend is the lateral subsidence and how does hydrogeology involve?
- How to apply the hydraulic-mechanical-transport (HMT) coupling?

*All things are difficult before they are  
easy.*

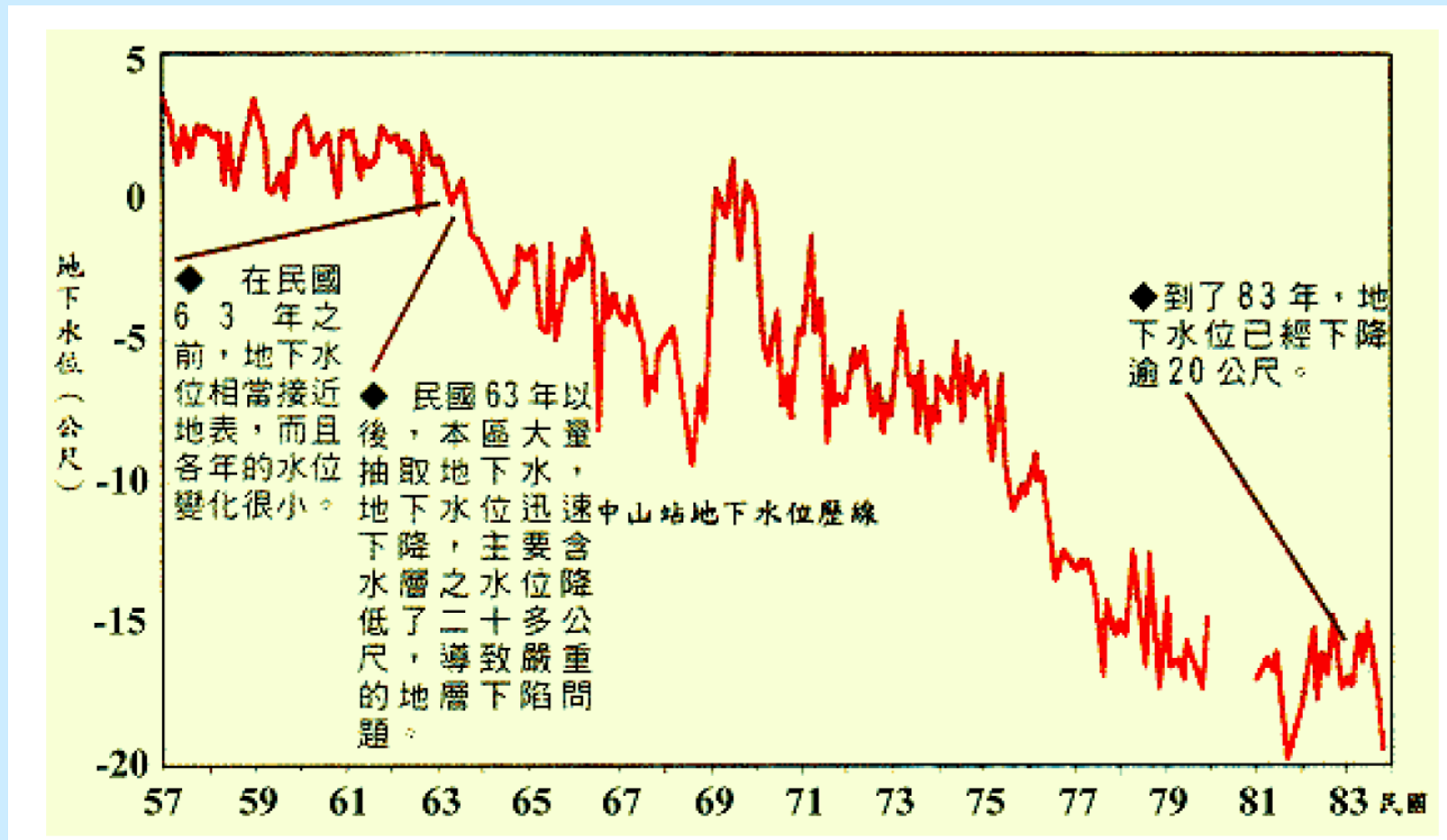
Thomas Fuller  
*Gnomologia*

*Questions are welcomed!*

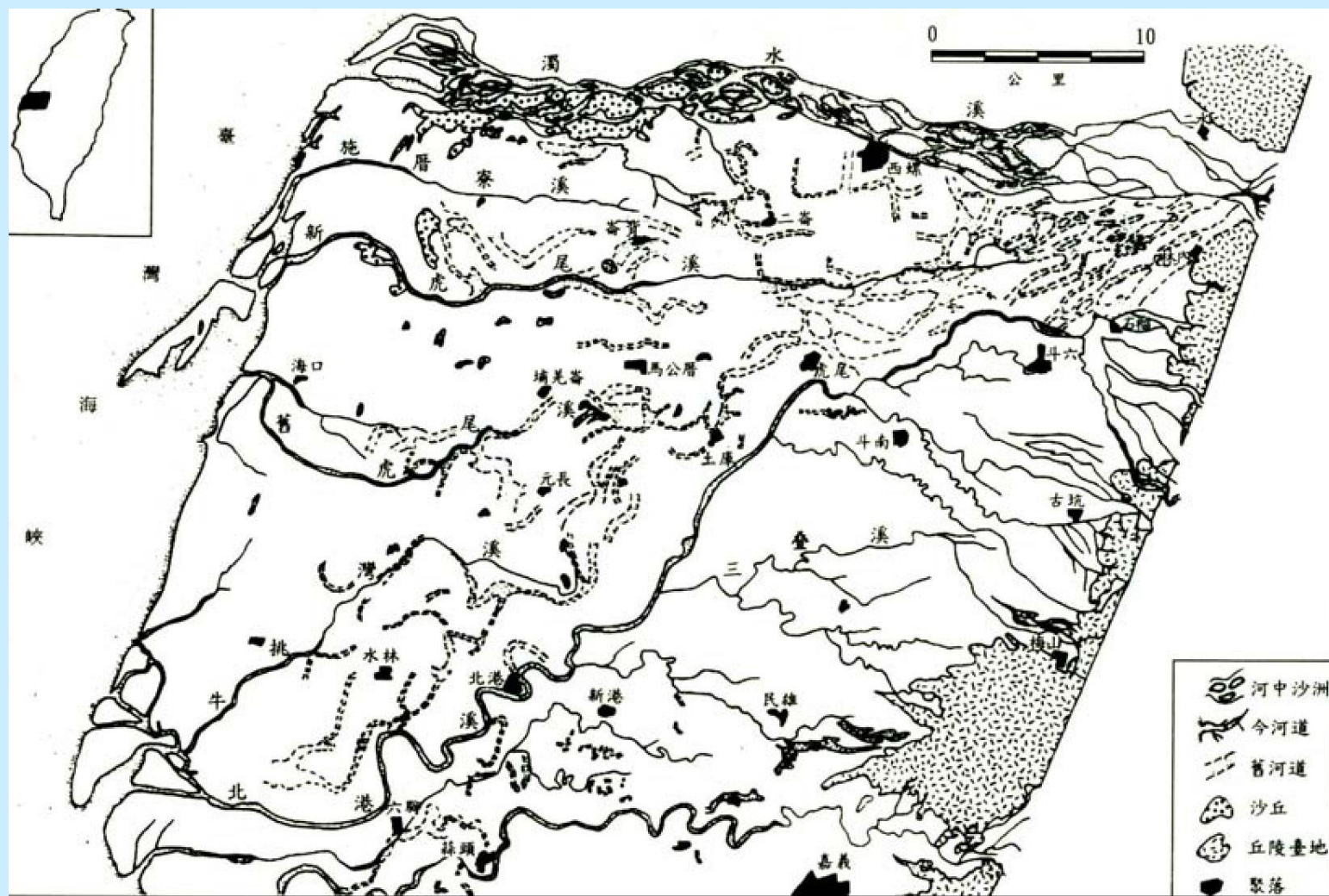


[Quick and Dirty Tips](#)

# 台西麥寮中山站



賈儀平1998



張素玢